

  	METROLOGIA, MONITOREO Y MODELACIÓN	
	INFORME MENSUAL DE LA RED DE MONITOREO DE CALIDAD DEL AIRE DE BOGOTÁ – RMCAB	
	Código: PA10-PR04-M2	Versión: 2



**ALCALDÍA MAYOR
DE BOGOTÁ D.C.**

SECRETARÍA DISTRITAL DE AMBIENTE

Claudia Nayibe López Hernández
Alcaldesa Mayor de Bogotá D.C.

Carolina Urrutia Vásquez
Secretaria Distrital de Ambiente

Julio Cesar Pulido Puerto
Subsecretario General y de Control
Disciplinario

Camilo Alexander Rincón Escobar
Director de Control Ambiental

Hugo Enrique Sáenz Pulido
Subdirector de Calidad del Aire, Auditiva y
Visual

José Hernán Garavito Calderón
Profesional Especializado RMCAB

Luis Álvaro Hernández González
Líder Técnico de la RMCAB

Ana Milena Hernández Quinchara
María Camila Buitrago Jiménez
Lady Mateus Fontecha
Profesionales Especializados del SATAB

Daissy Lizeth Zambrano Bohórquez
Eaking Ballesteros Urrutia
Edna Lizeth Montealegre Garzón
Jennyfer Montoya Quiroga
Grupo de Validación y Análisis de la RMCAB

Darío Alejandro Gómez Flechas
Henry Ospino Dávila
Luz Dary González González
Jesús Alberto Herrera Dallos
Luis Hernando Monsalve Guiza
Richard Alejandro Sánchez Serrano
Grupo de Operación de la RMCAB

	METROLOGIA, MONITOREO Y MODELACIÓN	
	INFORME MENSUAL DE LA RED DE MONITOREO DE CALIDAD DEL AIRE DE BOGOTÁ – RMCAB	
	Código: PA10-PR04-M2	Versión: 2

1 RESUMEN EJECUTIVO

De acuerdo con lo establecido en la Resolución 2254 de 2017 del Ministerio de Ambiente y Desarrollo Sostenible (MADS) con respecto a los niveles máximos permisibles, en el mes de octubre de 2021 se tuvieron veinte (20) excedencias diarias de las concentraciones de material particulado menor a 10 micras PM_{10} y treinta y dos (32) excedencias de las concentraciones de material particulado menor a 2.5 micras $PM_{2.5}$. En cuanto a las concentraciones de ozono O_3 , dióxido de azufre SO_2 , dióxido de carbono CO y dióxido de nitrógeno NO_2 no se registraron excedencias a la normatividad.

Durante el mes de octubre se registró la influencia principalmente del aumento de la actividad en la ciudad, y de las variaciones de las condiciones meteorológicas que incidieron en la acumulación de la contaminación en las mañanas. Asimismo, se evidenció un aumento significativo en las concentraciones de PM_{10} , $PM_{2.5}$, NO_2 , CO y SO_2 en la mayoría de las estaciones respecto a las concentraciones registradas en septiembre y una disminución considerable en las concentraciones de O_3 respecto al mes anterior.

De otra parte, aunque se presentan datos de concentración que no cumplieron con el porcentaje de representatividad temporal del 75%, establecido por el Protocolo para el Monitoreo y Seguimiento de la Calidad del Aire expedido por el entonces Ministerio de Ambiente, Vivienda y Desarrollo Territorial, hoy Ministerio de Ambiente y Desarrollo Sostenible, estos datos se presentaron como indicativos, pero no se incluyeron dentro de los cálculos y análisis de media móvil de concentración. La representatividad temporal de las estaciones en este mes no se vio afectada por valores significativos de desviación estándar y/o de temperatura interna.

Finalmente, como novedad durante el mes, la RMCAB trabajó en la actualización del procedimiento de operación de las estaciones, adjudicó contratos de calibración de equipos y recibió insumos necesarios para el correcto funcionamiento de los monitores de material particulado.

Nota:

Este informe “Informe mensual de calidad del aire Octubre 2021”, se encuentra vinculado como anexo al resumen ejecutivo del proceso No. 5295022 del Sistema de Información Ambiental FOREST de la Secretaría Distrital de Ambiente.

2. INTRODUCCIÓN

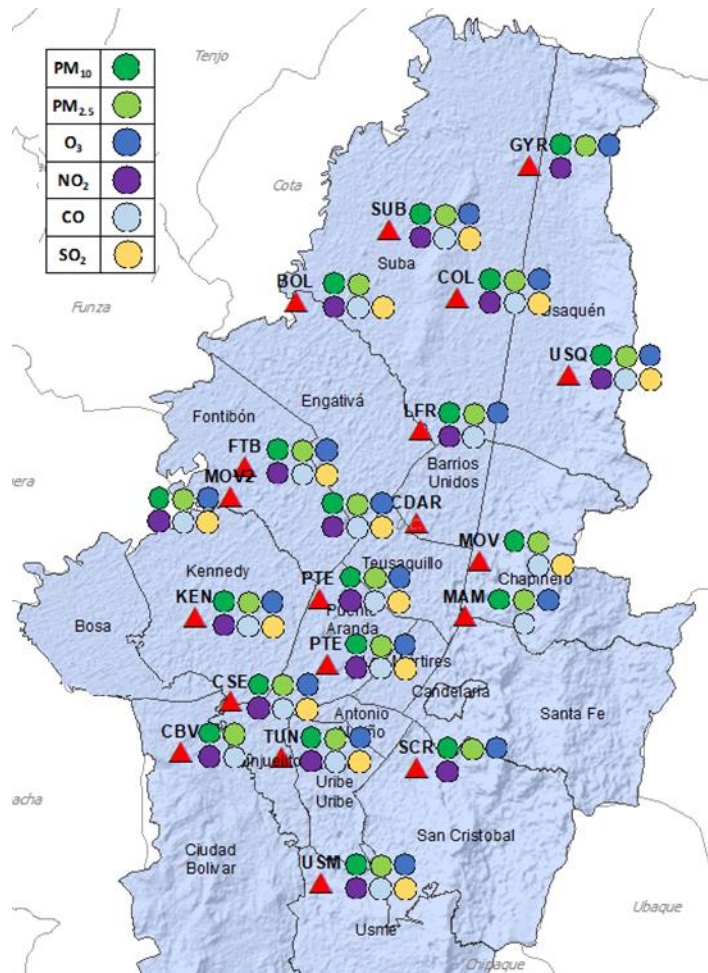


Figura 1. Estaciones de la Red de Monitoreo de Calidad del Aire de Bogotá – RMCAB distribuidas a lo largo y ancho de Bogotá D.C.

La Red de Monitoreo de Calidad del Aire de Bogotá - RMCAB es propiedad de la Secretaría Distrital de Ambiente - SDA desde el año 1997, la cual realiza el monitoreo de los contaminantes criterio PM_{10} , $PM_{2.5}$, O_3 , SO_2 , NO_2 y CO , y las variables meteorológicas precipitación, temperatura, presión atmosférica, radiación, solar, velocidad y dirección del viento. La RMCAB está conformada en la actualidad por 19 estaciones que cuentan con sensores y analizadores automáticos, que reportan datos actualizados cada hora sobre la calidad del aire en la ciudad. Cada estación se encuentra ubicada en un lugar específico de la ciudad, atendiendo a los requerimientos definidos en la normatividad vigente (distancia a fuentes de emisión, posibles interferencias, restricciones de funcionamiento), y por lo tanto cada una registra las condiciones de una zona de influencia en la atmósfera.

Los contaminantes criterio (PM_{10} , $PM_{2.5}$, O_3 , SO_2 , NO_2 y CO) son los compuestos presentes en la atmósfera cuyos efectos en el ambiente y en la salud se han establecido a través de estudios y pruebas, por lo cual tienen unos niveles máximos establecidos para evitar dichos efectos, entre los cuales se relacionan las enfermedades respiratorias, cardiovasculares, y efectos en la visibilidad y la química atmosférica. Dichos niveles son establecidos por la Organización Mundial de la Salud, y se encuentran regulados en Colombia por la Resolución 2254 de 2017 del MADS.

	METROLOGIA, MONITOREO Y MODELACIÓN	
	INFORME MENSUAL DE LA RED DE MONITOREO DE CALIDAD DEL AIRE DE BOGOTÁ – RMCAB	
	Código: PA10-PR04-M2	Versión: 2

En las estaciones de la RMCAB se realiza el monitoreo de la temperatura y la humedad al interior de las cabinas, con el fin de garantizar las condiciones ambientales necesarias para el correcto funcionamiento de los sensores y analizadores en cada estación. Para el mes de octubre de 2021 la temperatura interna osciló entre los 20 y 30°C en la mayoría de las estaciones, sin embargo, en la estación Suba se registraron temperaturas de hasta 31°C y en Puente Aranda de hasta 19,6°C; lo cual corresponde a variaciones de temperatura, por intervención de los equipos al interior de las cabinas. Para cada hora de excedencia al rango especificado, se invalidaron los datos de contaminantes en la estación correspondiente. Por otro lado, la humedad interna se mantuvo entre 23,14% y 78,97% en todas las estaciones.

En la Tabla 1, se presentan las estaciones que actualmente hacen parte de la Red de Monitoreo de Calidad del Aire de Bogotá – RMCAB y las siglas que se utilizan para su identificación, de esta manera se encontraran citadas las estaciones a lo largo de este documento.

Tabla 1. Nombres y siglas de las estaciones de la RMCAB

Estación	Guaymaral	Usaquén	Suba	Bolivia	Las Ferias	Centro de Alto Rendimiento	MinAmbiente	Móvil 7ma	Fontibón	Colina
Sigla	GYR	USQ	SUB	BOL	LFR	CDAR	MAM	MOV	FTB	COL
Estación	Puente Aranda	Jazmín	Kennedy	Carvajal - Sevillana	Tunal	Ciudad Bolívar	San Cristóbal	Usme	Móvil Fontibón	
Sigla	PTE	JAZ	KEN	CSE	TUN	CBV	SCR	USM	MOV2	

3. GESTIONES ADMINISTRATIVAS DE LA RMCAB

En el mes de octubre, se trabajó en la actualización del procedimiento PA10-PR02 “Operación de la Red de Monitoreo de Calidad de Aire de Bogotá” complementando las actividades técnicas de operación que realiza el equipo de campo de la red.

Por otro lado, en el mes se adjudicaron contratos para la prestación del servicio de calibración de equipos de la RMCAB y se recibieron insumos que garantizan la operación continua y el funcionamiento adecuado de los monitores de material particulado.

4. CALIDAD DEL AIRE (DISTRIBUCIÓN ESPACIAL, TEMPORAL Y TENDENCIAS)

En los siguientes apartados se muestran los resultados y cálculos obtenidos con base en las mediciones de concentraciones de contaminantes criterio durante el mes de octubre 2021.

4.1 COMPORTAMIENTO TEMPORAL Y ESPACIAL DE LAS CONCENTRACIONES DE PM₁₀

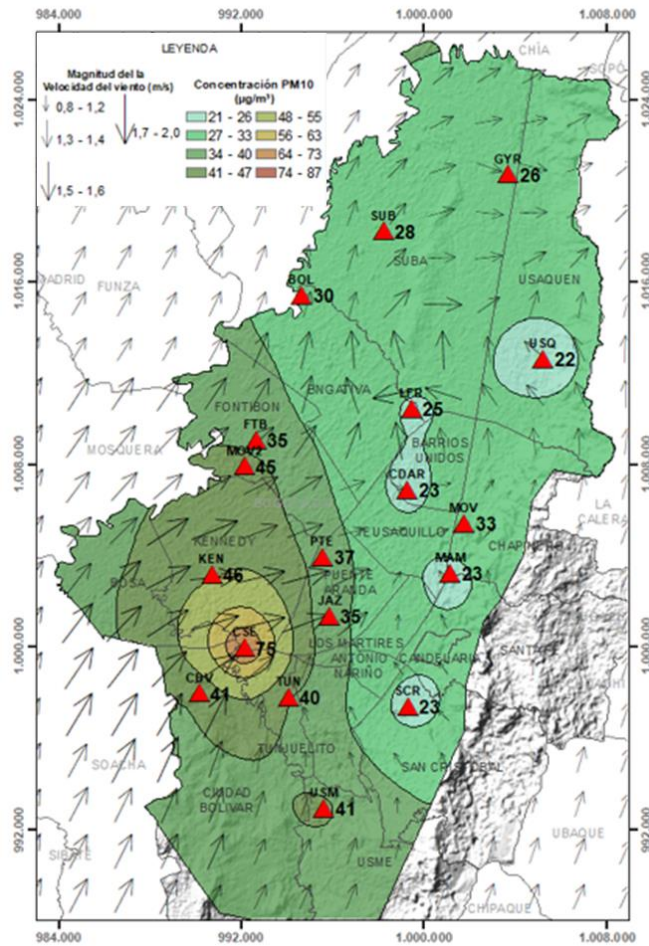


Figura 2. Distribución espacial concentraciones mensuales PM₁₀ - octubre 2021

Las concentraciones promedio mensuales más altas se presentaron en la zona sur occidental de la ciudad en las estaciones Carvajal - Sevillana (74,6 µg/m³) y Kennedy (46,3 µg/m³), mientras que las menores concentraciones se registraron en la zona norte en la estación Usaquén (21,7 µg/m³) y en la zona suroriental en la estación San Cristóbal (22,9 µg/m³). Las concentraciones máximas diarias más altas para el mes corresponden a 114,7 µg/m³ en la estación Carvajal - Sevillana y a 80,5 µg/m³ en la estación Ciudad Bolívar; estas concentraciones sobrepasaron el nivel máximo definido por la norma nacional diaria (75 µg/m³). En el mes se registraron en total veinte (20) excedencias de las concentraciones promedio 24 horas, las cuales NO CUMPLIERON con el nivel máximo permisible de la norma de PM₁₀, quince (15) en Carvajal-Sevillana, dos (2) en Ciudad Bolívar, una (1) en Kennedy, una (1) en la Móvil Fontibón y una (1) en Tunal. Las concentraciones restantes, CUMPLIERON con el nivel máximo permisible establecido en la norma.

La estación Colina (71%) no alcanzó el 75% de representatividad temporal, debido a que se presentaron datos atípicos que se invalidaron, por lo que el monitor estuvo en observación operativa.

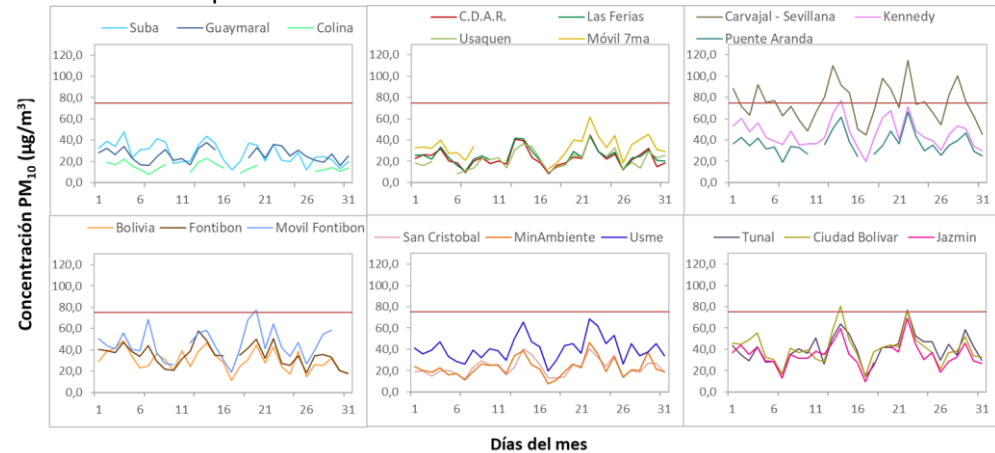


Figura 3. Concentraciones diarias PM₁₀ por estación de monitoreo - octubre 2021

4.2 COMPORTAMIENTO TEMPORAL Y ESPACIAL DE LAS CONCENTRACIONES DE PM_{2.5}

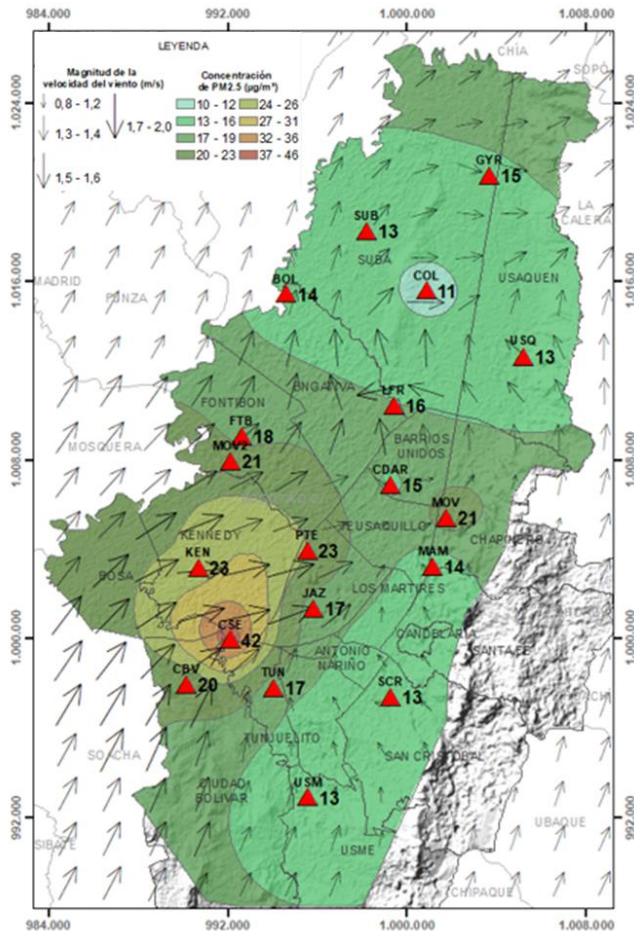


Figura 4. Distribución espacial concentraciones mensuales PM_{2.5} - octubre 2021.

En este mes, las concentraciones promedio mensuales más altas se presentaron en la zona sur occidental de la ciudad en las estaciones Carvajal - Sevillana (41,9 µg/m³) y Puente Aranda (23,5 µg/m³), mientras que las menores concentraciones se registraron en la zona norte en la estación Colina (10,9 µg/m³) y en la zona sur oriental en la estación San Cristóbal (13,0 µg/m³). Las concentraciones máximas diarias más altas para el mes corresponden a 60,7 µg/m³ en la estación Carvajal - Sevillana y 45,0 µg/m³ en la estación Puente Aranda; estas concentraciones sobrepasaron el nivel máximo definido por la norma nacional diaria (37 µg/m³). En el mes se registraron treinta y dos (32) excedencias de las concentraciones promedio 24 horas, las cuales NO CUMPLIERON con el nivel máximo permisible establecido en la norma para PM_{2.5}, veinticuatro (24) en Carvajal-Sevillana, dos (2) en Ciudad Bolívar, dos (2) en Kennedy, dos (2) en Puente Aranda, una (1) en Jazmín, y una (1) en la Móvil 7ma. Las concentraciones restantes, CUMPLIERON con el nivel máximo permisible establecido en la norma. Todas las estaciones alcanzaron el 75% de representatividad temporal.

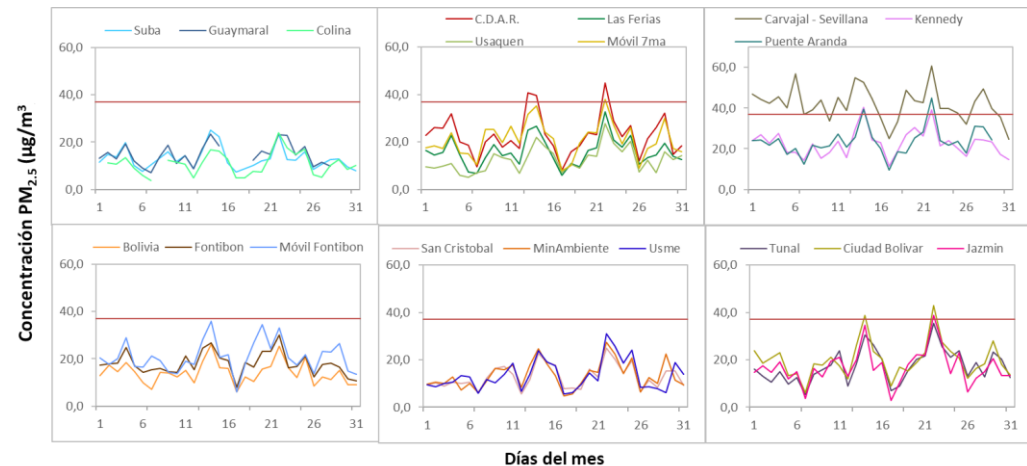


Figura 5. Concentraciones diarias PM_{2.5} por estación de monitoreo – octubre 2021

	METROLOGIA, MONITOREO Y MODELACIÓN	
	INFORME MENSUAL DE LA RED DE MONITOREO DE CALIDAD DEL AIRE DE BOGOTÁ – RMCAB	
	Código: PA10-PR04-M3	Versión: 2

4.3 CORRELACIÓN ENTRE LAS VARIABLES METEOROLÓGICAS Y EL MATERIAL PARTICULADO

La Figura 6 representa la variación diaria en la ciudad de las concentraciones de PM_{10} , $PM_{2.5}$, precipitación y velocidad del viento durante el mes de octubre de 2021. Se evidencia que cuando se registraron incrementos de la velocidad del viento, las concentraciones de material particulado disminuyeron, presentando un comportamiento inverso y favorable para la calidad del aire en la ciudad, observando la mayor influencia los días 7, 17 y 26 de octubre. Asimismo, las concentraciones de material particulado se incrementaron los días 14, 22 y 29 de octubre que coincide con la baja en la velocidad del viento. Por otro lado, los días 10, 25 y 29 se presentaron precipitaciones más altas que el resto del mes, el 10 se evidencia una disminución en el material particulado y a su vez un ascenso en la velocidad del viento, sin embargo, el 25 y el 29 aunque se presentaron cantidades significativas de precipitación, las concentraciones de material particulado aumentaron ya que como se evidencia en la gráfica, las velocidades del viento fueron bajas.

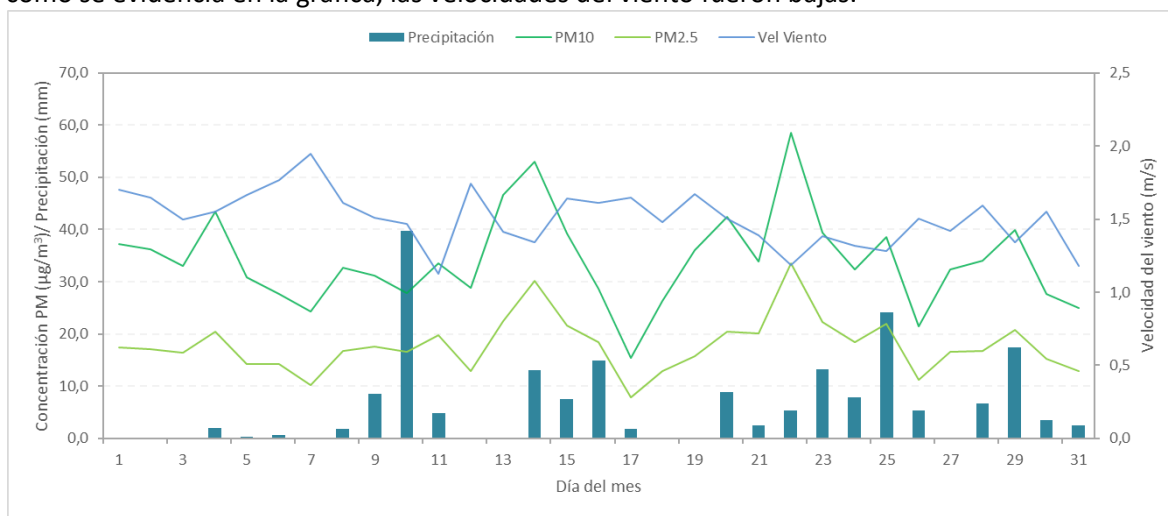


Figura 6. Promedio de concentración PM_{10} y $PM_{2.5}$, precipitación y velocidad del viento a nivel ciudad - octubre 2021

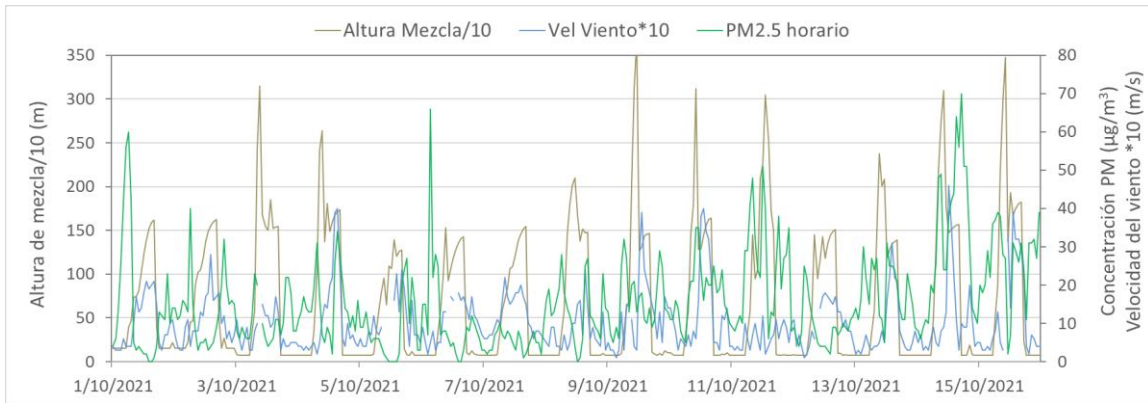
Cabe resaltar que dichas variaciones dependen del comportamiento de las variables meteorológicas según la época del año, ya que en la época seca (primer y tercer trimestre) hay mayor tendencia a que se presenten inversiones térmicas en las mañanas, también depende de la variación diaria de las concentraciones (reducción en fines de semana) y de la influencia de fenómenos regionales como corrientes de viento o arrastre de material particulado por incendios forestales u otros eventos de contaminación atmosférica.

Por otro lado, en la Figura 7 y la Figura 8 se observa la comparación del comportamiento horario durante el mes de octubre de 2021 de la altura de la capa de mezcla, las concentraciones de $PM_{2.5}$ y la velocidad del viento en las estaciones Guaymaral y Tunal. Se puede evidenciar que los registros más bajos de altura de la capa de mezcla coinciden con incrementos de la concentración de material particulado, debido a que hay un volumen menor de aire para la dispersión del contaminante, lo cual ocurre principalmente en las madrugadas cuando la temperatura del aire es más baja, la velocidad del viento también es más baja y la atmósfera más estable. Como ejemplo de lo anterior, este comportamiento se evidencia en la Figura 7 correspondiente a la estación Tunal el 6, el 15 y el

29 de octubre y en la Figura 8 correspondiente a la estación de Guaymaral el 8, el 14 y el 23 de octubre.

TUNAL

Octubre 01 al 15



Octubre 16 al 31

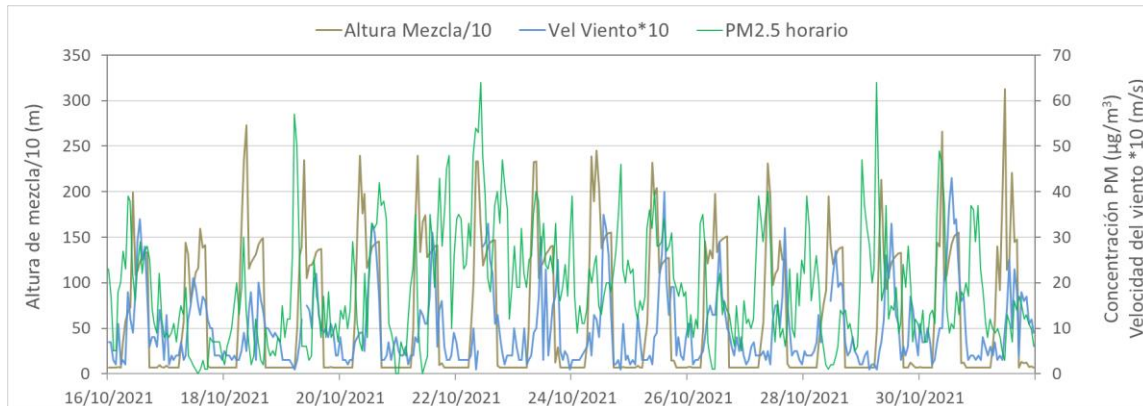


Figura 7. Comparación altura de mezcla, concentraciones PM_{2,5} y velocidad del viento estación Tunal - octubre 2021

GUAYMARAL

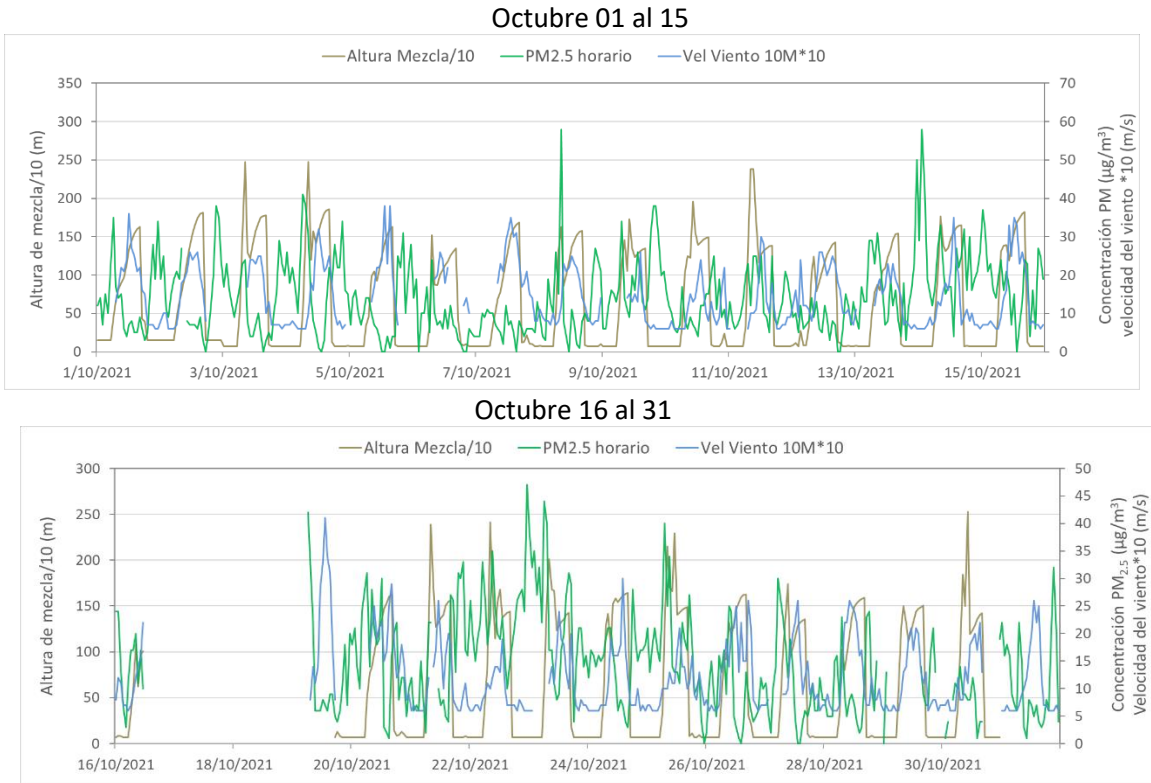


Figura 8. Comparación altura de mezcla, concentraciones PM_{2.5} y velocidad del viento estación Guaymaral octubre 2021

	METROLOGIA, MONITOREO Y MODELACIÓN	
	INFORME MENSUAL DE LA RED DE MONITOREO DE CALIDAD DEL AIRE DE BOGOTÁ – RMCAB	
	Código: PA10-PR04-M3	Versión: 2

5. COMPORTAMIENTO TEMPORAL Y ESPACIAL DE LAS CONCENTRACIONES DE O₃, SO₂, NO₂ Y CO.

En la Figura 9 se observan las concentraciones promedio mensuales registradas en las estaciones de la RMCAB para el mes de octubre de 2021; los valores promedio más altos de SO₂, NO₂ y CO, gases asociados a la combustión, fueron registrados en la estación Carvajal-Sevillana, aunque en la estación Ciudad Bolívar la concentración de SO₂ fue la misma que en Carvajal-Sevillana, mientras que el promedio más alto de O₃ se evidenció en la estación Usaquén, siendo las zonas sur occidental y norte de la ciudad las que tuvieron los niveles más elevados de gases criterio en el mes.

Por otro lado, en el mes no se registraron excedencias de las concentraciones promedio de gases que no cumplieran con el nivel máximo permisible establecido en la normatividad. Todas las concentraciones de los gases registradas en el mes, CUMPLIERON con los niveles máximos permisibles establecidos en la Resolución 2254 de 2017 ya que no se registraron excedencias en: O₃: 100 µg/m³ para datos 8h, SO₂: 50 µg/m³ para datos 24h, SO₂: 100 µg/m³ para datos 1h, NO₂: 200 µg/m³ para datos 1 hora, CO: 35000 µg/m³ para datos 1 hora y CO: 5000 µg/m³ para datos 8 horas.

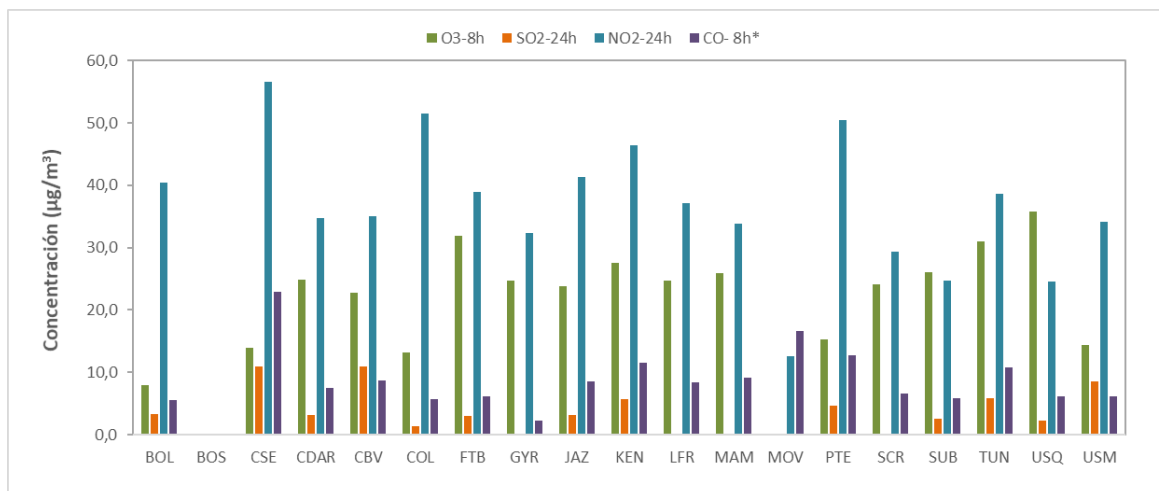


Figura 9. Concentraciones mensuales de gases (O₃, SO₂, NO₂ y CO) por estación de monitoreo - octubre 2021

*Las concentraciones promedio mensuales de Monóxido de Carbono (CO), están divididas por 100 con el fin de ajustar la escala a las concentraciones de los demás contaminantes.

5.1 COMPORTAMIENTO TEMPORAL Y ESPACIAL DE LAS CONCENTRACIONES DE OZONO - O₃

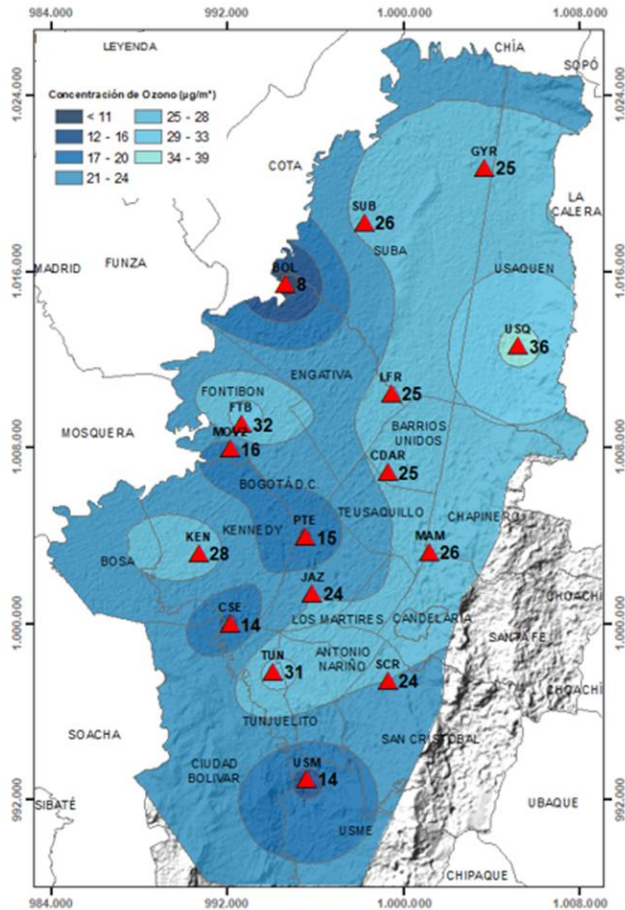


Figura 10. Distribución espacial concentraciones mensuales O₃ - octubre 2021

En el mapa de la Figura 10, se representa la distribución espacial de las concentraciones promedio mensuales de O₃ con base en datos media móvil 8 horas para el mes de octubre de 2021. Se observa que las concentraciones más altas predominan en las zonas norte y occidente de la ciudad, especialmente en la zona de influencia de las estaciones Usaquén y Fontibón. Por otro lado, las concentraciones más bajas se evidencian en la zona de influencia de las estaciones Bolivia y Carvajal – Sevillana.

Las estaciones Colina (68%) y Ciudad Bolívar (20%) no alcanzaron el 75% de representatividad temporal ya que se presentaron datos atípicos que se invalidaron, por lo que los analizadores estuvieron en observación operativa.

5.1.1. COMPORTAMIENTO DE LA RADIACIÓN SOLAR Y SU RELACIÓN CON LAS CONCENTRACIONES DE OZONO

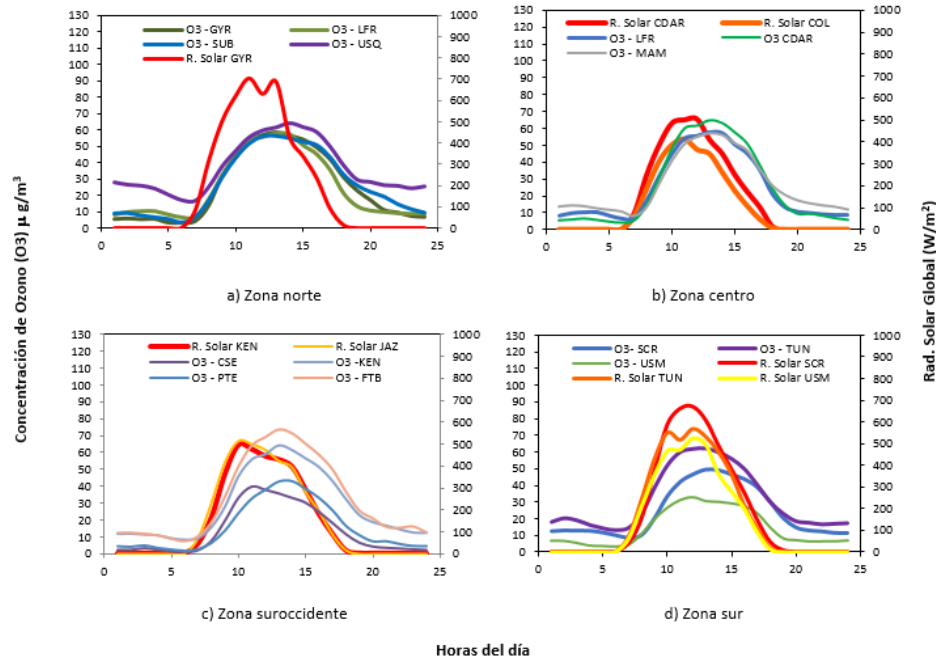


Figura 11. Comportamiento horario de las concentraciones de O₃ (µg/m³) y su relación con la Radiación Solar entrante (W/m²) - Octubre 2021. a) zona norte, b) zona centro, c) zona suroccidente y d) zona sur

Los valores de radiación solar registrados durante el mes de octubre permiten deducir que hacia la zona norte de la ciudad hubo mayor cantidad de radiación solar entrante, con respecto al mes anterior, principalmente al norte y al suroccidente. En la hora de mayor incidencia para la estación Guaymaral, se registró un promedio acumulado horario de hasta 704 W/m²; mientras que, en septiembre, se promedió en 584 W/m². Así mismo, las concentraciones medias horarias de ozono en la estación de Usaquén pasaron de 59 µg/m³ a 61 µg/m³. De manera semejante en la estación de Kennedy, las cantidades medias horarias mensuales de radiación solar presentaron incrementos con respecto al mes anterior, donde se registraron 459 W/m² mientras que, en octubre, alcanzó un valor de 512 W/m². Este incremento en las cantidades de radiación solar se vio reflejado en las concentraciones de ozono que alcanzaron una concentración media horaria en la hora de mayor concentración de 64 µg/m³, superando los 55,5 µg/m³ del mes de septiembre. Ver *Figura 11*.

Este comportamiento de las cantidades de radiación solar entrantes, podría explicar el incremento de las temperaturas del aire ambiente durante el mes de octubre.

5.2 COMPORTAMIENTO TEMPORAL Y ESPACIAL DE LAS CONCENTRACIONES DE DIÓXIDO DE AZUFRE – SO₂

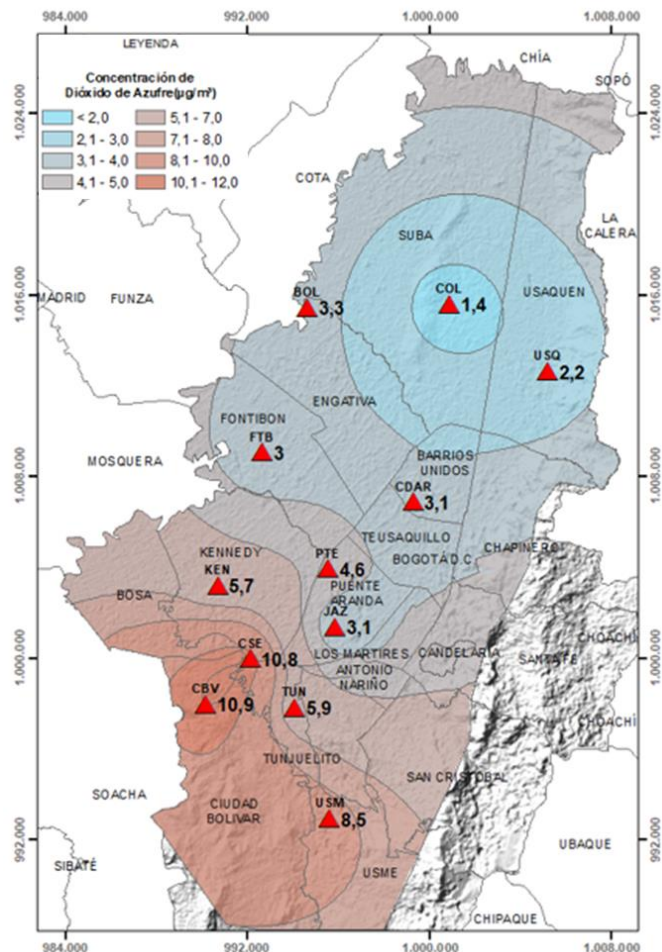


Figura 12. Distribución espacial concentraciones mensuales SO₂ - octubre 2021

En el mapa de la *Figura 12* se representa la distribución espacial de las concentraciones promedio mensuales de SO₂ para el mes de octubre de 2021 con base en los datos 24 horas. Se observa que las concentraciones más altas predominan en las zonas suroccidental y sur de la ciudad, especialmente en la zona de influencia de las estaciones Carvajal – Sevillana y Ciudad Bolívar. Por otro lado, las concentraciones más bajas se evidencian en la zona de influencia de las estaciones Colina y Usaquén.

No alcanzó el 75% de representatividad temporal la estación Suba (39%), ya que se presentaron datos atípicos que se invalidaron, por lo que el analizador estuvo en observación operativa.

5.3 COMPORTAMIENTO TEMPORAL Y ESPACIAL DE LAS CONCENTRACIONES DE DIÓXIDO DE NITROGENO – NO₂

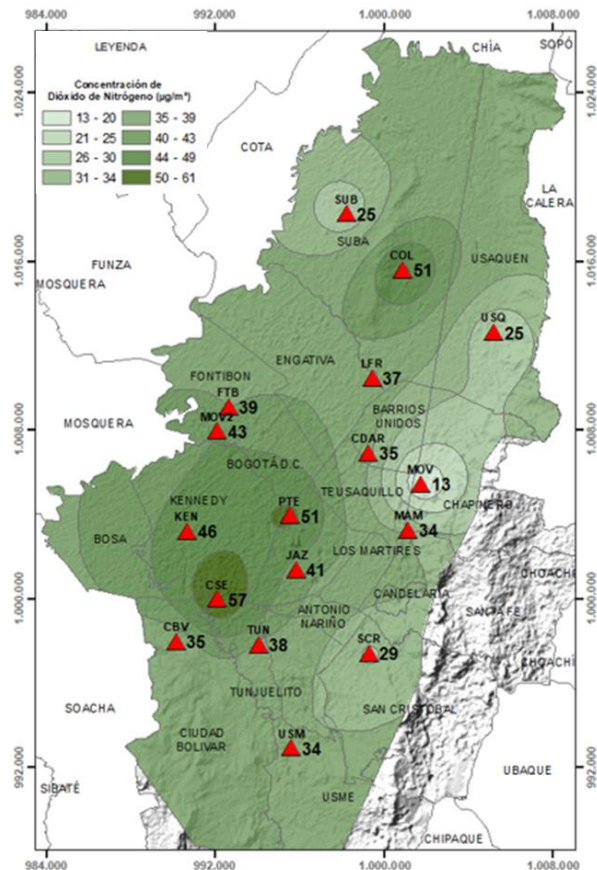


Figura 13. Distribución espacial concentraciones mensuales NO₂ - octubre 2021

En el mapa de la *Figura 13* se representa la distribución espacial de las concentraciones promedio mensuales de NO₂ para el mes de octubre de 2021. Se observa que las concentraciones más altas predominan en las zonas suroccidente y norte de la ciudad, especialmente en la zona de influencia de las estaciones Carvajal – Sevillana y Colina.

Por otro lado, las concentraciones más bajas se evidencian en la zona norte y noroccidente, especialmente en la zona de influencia de las estaciones Móvil7ma, Usaquén y Suba. Todas las estaciones alcanzaron el 75% de representatividad temporal.

5.4 COMPORTAMIENTO TEMPORAL Y ESPACIAL DE LAS CONCENTRACIONES DE MONÓXIDO DE CARBONO – CO

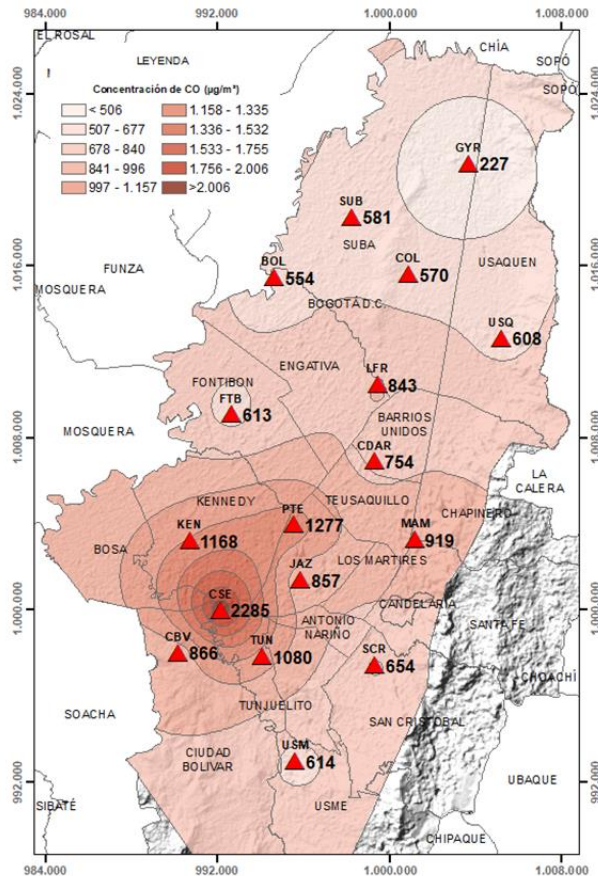


Figura 14. Distribución espacial concentraciones mensuales CO - octubre 2021.

En el mapa de la *Figura 14* se representa la distribución espacial de las concentraciones promedio mensuales de CO con base en datos media móvil 8 horas para el mes de octubre de 2021. Se observa que las concentraciones más altas predominan en la zona sur occidental de la ciudad, especialmente en la zona de influencia de las estaciones Carvajal - Sevillana y Kennedy. Por otro lado, las concentraciones más bajas se evidencian en la zona norte y noroccidente, especialmente en la zona de influencia de las estaciones Guaymaral y Bolivia.

La estación Móvil 7ma (72%) no alcanzó el 75% de representatividad temporal, debido a que se presentaron datos atípicos que se invalidaron, por lo que el analizador estuvo en observación operativa.

	METROLOGIA, MONITOREO Y MODELACIÓN	
	INFORME MENSUAL DE LA RED DE MONITOREO DE CALIDAD DEL AIRE DE BOGOTÁ – RMCAB	
	Código: PA10-PR04-M3	Versión: 2

6. COMPORTAMIENTO TEMPORAL DE LAS CONCENTRACIONES DE BLACK CARBON

Los equipos de Black Carbon realizan el monitoreo de las partículas sólidas o líquidas que se encuentran suspendidas en la atmósfera y cuyo tamaño varía entre 0,001 y 1 μm . La RMCAB cuenta con ocho aethalómetros que funcionan en dos (2) longitudes de onda; 880 nm para medir la concentración de Black Carbon (BC) total, el cual es producto de la combustión incompleta de combustibles fósiles; y 370 nm para indicar una medida del “componente UV”, es decir, para medir concentraciones de Black Carbon (UV-BC) proveniente de la quema directa de biomasa (Ramirez Cely, 2016).

6.1. CAPTURA DE DATOS DE CONCENTRACIONES DE BC

Las estaciones que presentan una captura de datos menor al 75% son aquellas en las que se han presentado dificultades para acceder a la estación a realizar las labores de mantenimiento preventivo y correctivo; en este caso, durante este mes la estación de Carvajal – Sevillana presentó una captura de datos del 64%, debido a que no se pudo ingresar a la estación para realizar las labores de mantenimiento correctivo requeridas por el equipo.

La Figura 15 y la Figura 16 presentan la serie temporal de las concentraciones diarias (24h) de BC para las estaciones ubicadas en cada zona de la ciudad. En la zona suroccidental, se presentaron las mayores concentraciones, especialmente en la estación Carvajal - Sevillana, la concentración es consistentemente cercana a 20 $\mu\text{g}/\text{m}^3$ durante todo el mes, en donde se registró un valor máximo durante la primera semana con 17,1 $\mu\text{g}/\text{m}^3$. Un comportamiento similar se aprecia en las estaciones Kennedy y Tunal, con valores entre 10 a 15 $\mu\text{g}/\text{m}^3$. Las estaciones ubicadas al noroccidente y centro-oriente muestran un incremento en las concentraciones de BC a partir de la primera y tercera semana del mes, cuyos valores no superan los 10 $\mu\text{g}/\text{m}^3$.

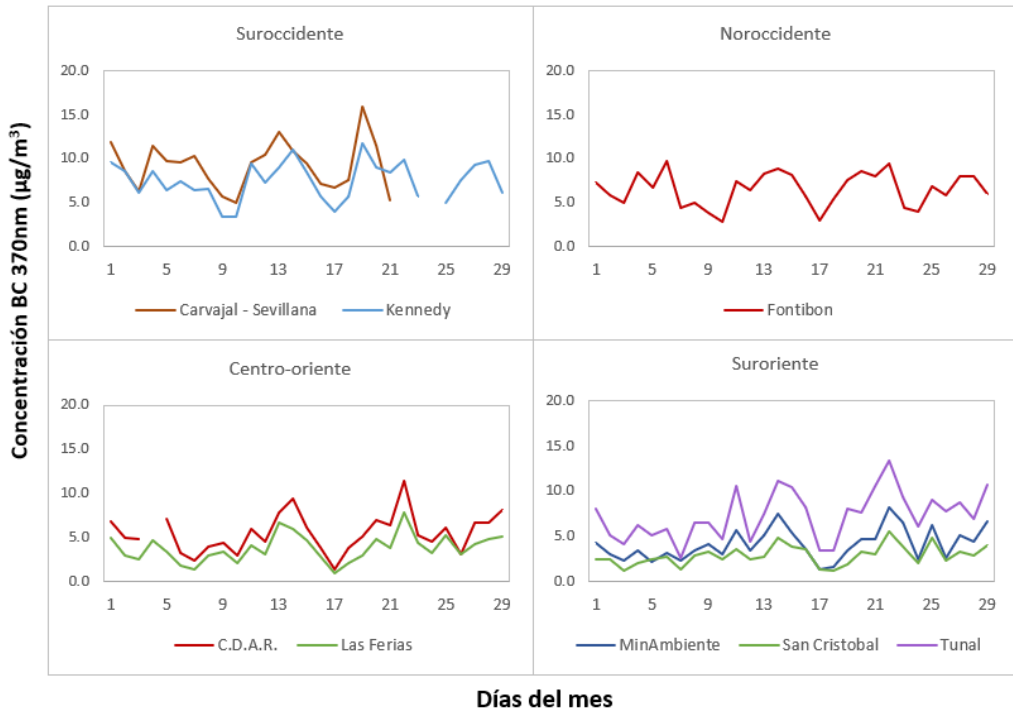


Figura 15. Comportamiento de las concentraciones diarias de longitud de onda 370nm para octubre de 2021

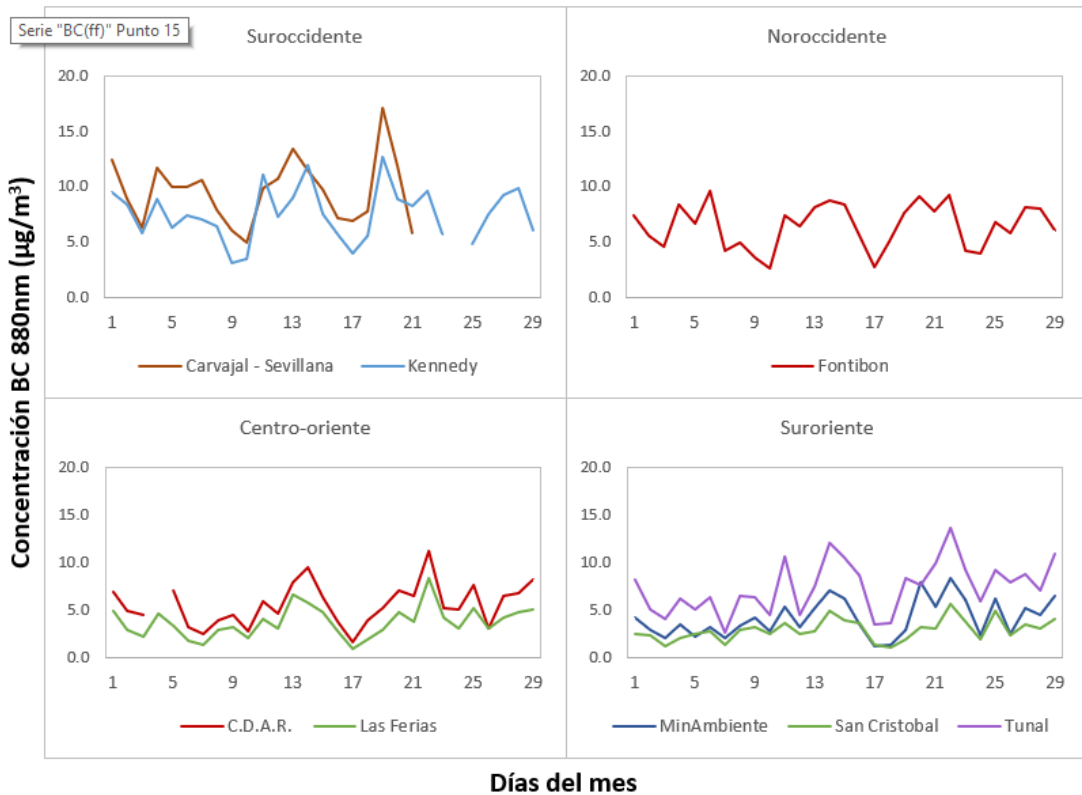


Figura 16. Comportamiento de las concentraciones diarias de longitud de onda 880nm para octubre de 2021

6.2. Comportamiento temporal de las concentraciones de Black Carbon proveniente de la quema de biomasa

Para el cálculo del BC biomasa se aplicó la metodología propuesta por Sandradewi (2008) el cual toma las mediciones de longitudes de onda para calcular un porcentaje de BC proveniente de la Biomasa. Como valor indicativo de la quema de biomasa se optó por tomar datos satelitales del sensor MODIS, el cual capta las áreas quemadas caracterizadas por depósitos de carbón y cenizas, remoción de vegetación y alteración de la estructura vegetal. Es por eso que varios estudios han registrado el transporte de las plumas de quema de biomasa, que varían entre cientos y hasta miles de kilómetros, es por ello que se seleccionó un dominio en el Norte de Suramérica (NSA) para el análisis de incendios activos.

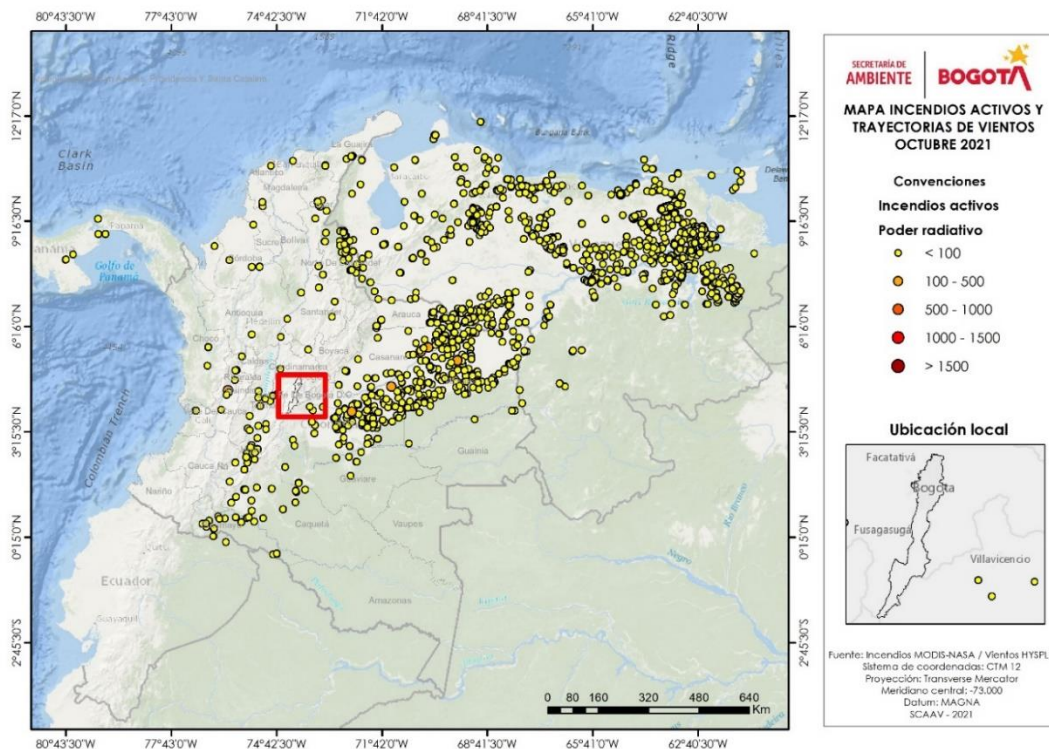


Figura 17. Distribución espacial de incendios activos identificados por el sensor MODIS en el mes de octubre 2021

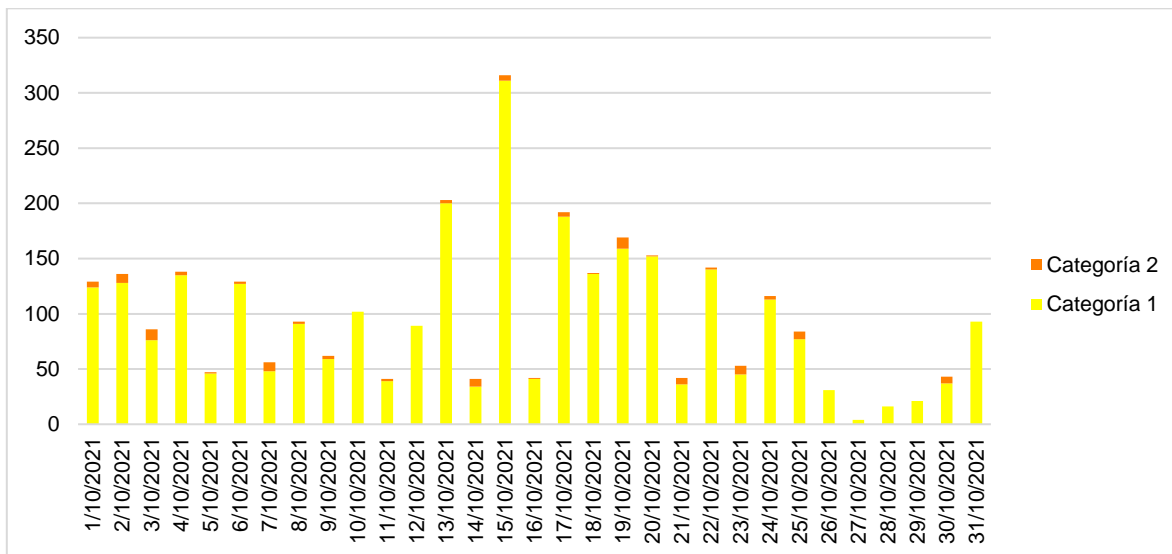


Figura 18. Número de eventos o puntos calientes identificados por el sensor MODIS en el mes de octubre 2021

En la Figura 17 se muestra la distribución espacial de incendios activos detectados por el sensor MODIS durante el mes de octubre de 2021, en el norte de Suramérica. Los fuegos detectados son clasificados de acuerdo al poder radiativo (Fire Power Radiative – FPR, por sus siglas en inglés) como lo sugiere (Ichoku et al., 2008). La categoría 1 corresponde a incendios con FPR < 100MW y la categoría 2 son los incendios con un FPR entre 100 y 500. Durante el mes analizado se censaron incendios, que en su mayoría se encuentran clasificados en la categoría 1 (2898) y unos pocos en la categoría 2 (108), los días 13, 15 y 17 del mes se caracterizaron por registrar una mayor cantidad de incendios correspondientes a 203, 316 y 192, respectivamente. (Figura 18).

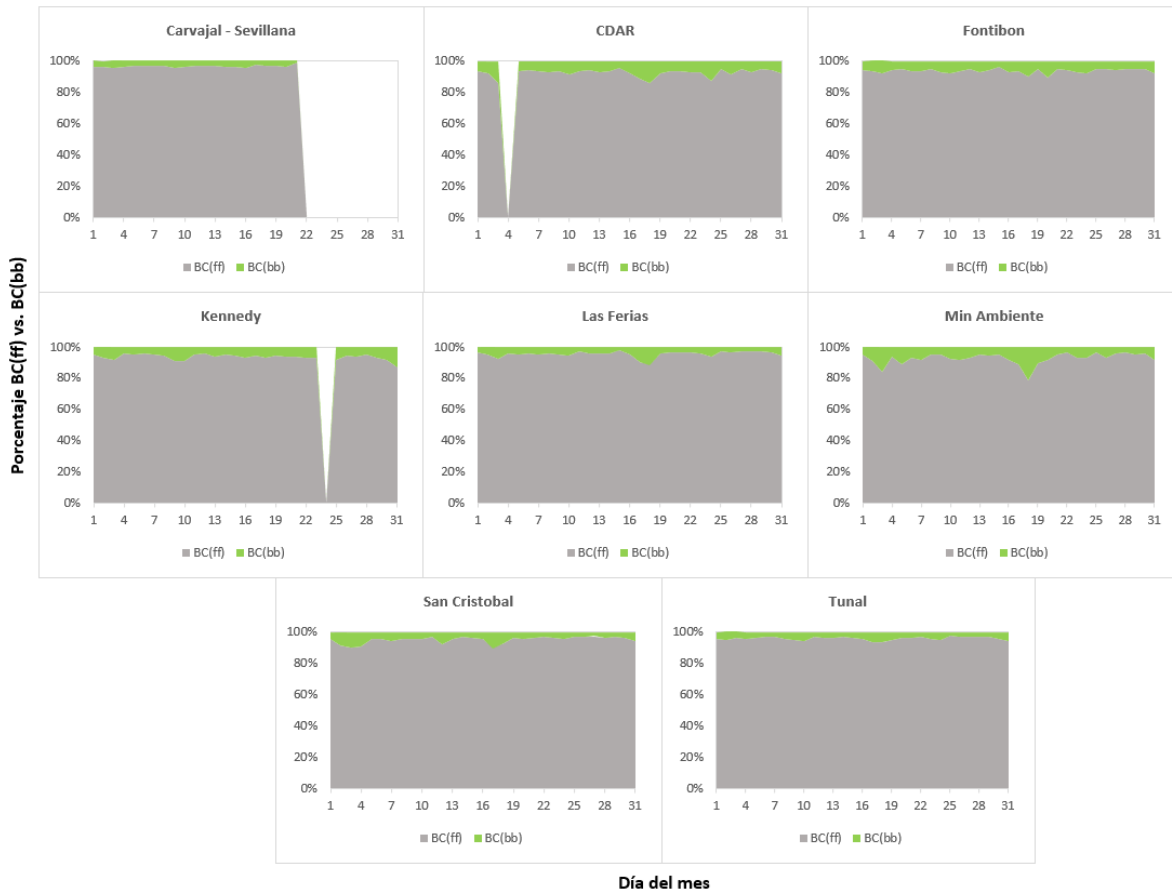


Figura 19. Serie temporal porcentaje de quema Black Carbon de combustibles fósiles BC(ff) vs. Black Carbon de quema de biomasa BC(bb) - octubre 2021

La Figura 19 muestra el comportamiento temporal del mes de octubre de 2021 de Black Carbon por quema de biomasa BC (bb) comparados con el porcentaje de Black Carbon de combustibles fósiles BC (ff). De acuerdo con esta grafica se puede apreciar que el mayor porcentaje de BC que se encuentra en la atmosfera es proveniente de la quema de combustibles fósiles emitido por las fuentes fijas y fuentes móviles de la ciudad.

Las estaciones que presentan una mayor predominancia de porcentaje de Black Carbon por quema de combustibles fósiles son Carvajal – Sevillana, Kennedy y Tunal; por otro lado, se evidencia que las estaciones Centro de Alto Rendimiento, Las Ferias, San Cristóbal y Min Ambiente presentan un aumento en el porcentaje de Black Carbon por quema de biomasa, especialmente durante los días 3 y 18 del mes.

7. INDICE BOGOTANO DE CALIDAD DEL AIRE (IBOCA)

El Índice Bogotano de Calidad de Aire y Riesgo en Salud, IBOCA, adoptado mediante la Resolución Conjunta 868 de abril de 2021, es un indicador multipropósito adimensional en una escala de 0 a 500, calculado a partir de las concentraciones de contaminantes atmosféricos que indica el estado de la calidad del aire que se basa en el contaminante que presenta la mayor afectación a la salud en un tiempo de exposición determinado, sin embargo, puede ser calculada para cada contaminante prioritario con el fin de establecer su importancia en términos de afectación.

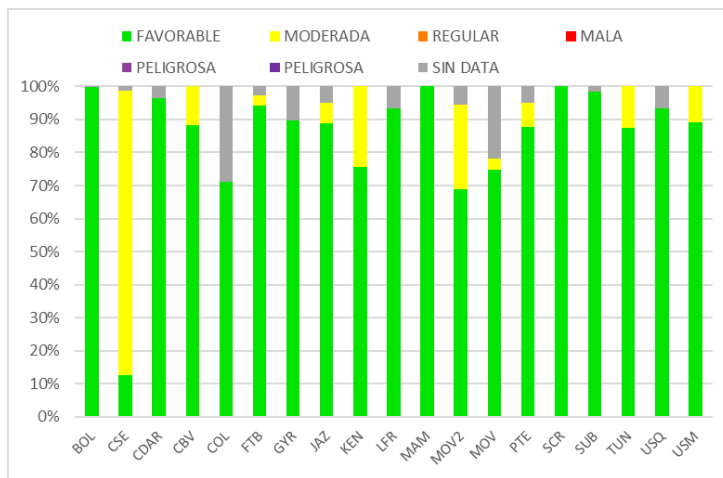


Figura 20. IBOCA para PM₁₀ por estación - octubre 2021

La *Figura 20* muestra el comportamiento del IBOCA para los promedios móviles de las concentraciones 24 horas de PM₁₀ por estación de monitoreo registrados en el mes de octubre 2021. Se observa que la condición “favorable” predominó en la mayoría las estaciones la mayor parte del mes, representando un 100% del tiempo en las estaciones Bolivia, MinAmbiente y San Cristóbal. En la estación Carvajal-Sevillana, se registró la condición “moderada” durante el 86% del mes.

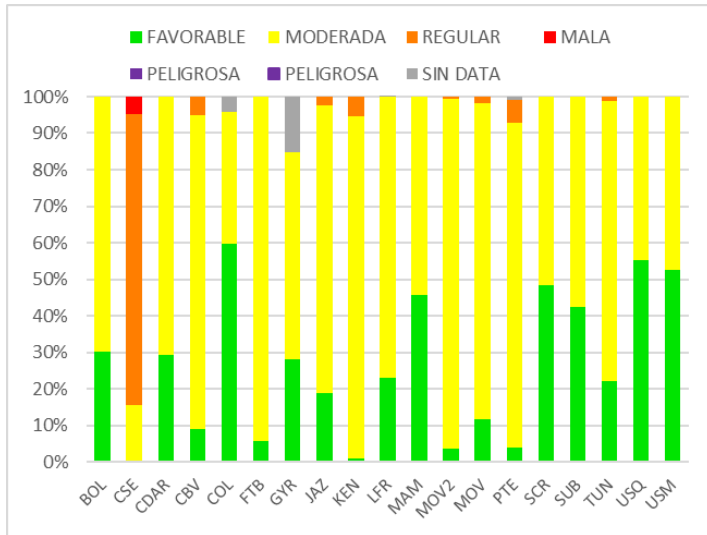


Figura 21. IBOCA para PM_{2.5} por estación - octubre 2021

La Figura 21 muestra el comportamiento del IBOCA para los promedios móviles de las concentraciones 24 horas de PM_{2.5} en cada estación de monitoreo. Se observa que en el mes de octubre 2021 predominó la condición “moderada” en la mayoría de las estaciones, con más del 36% del mes, mientras que en la estación Carvajal-Sevillana predominó la condición “regular” con un 80% del tiempo. Las demás estaciones del sur y suroccidente registraron también la condición “regular” en un porcentaje entre 1 y 5%.

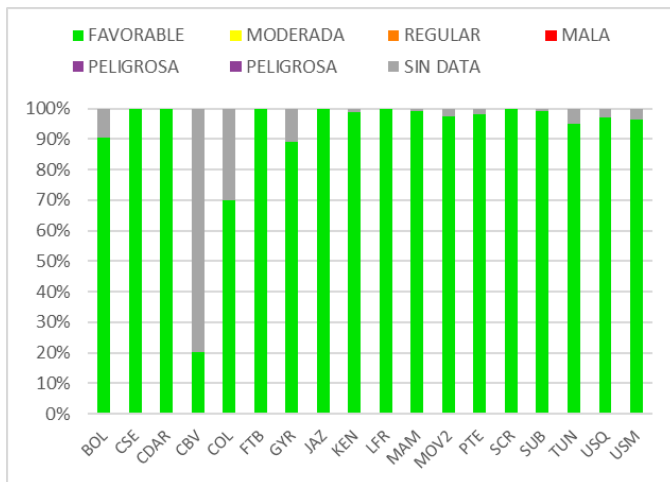


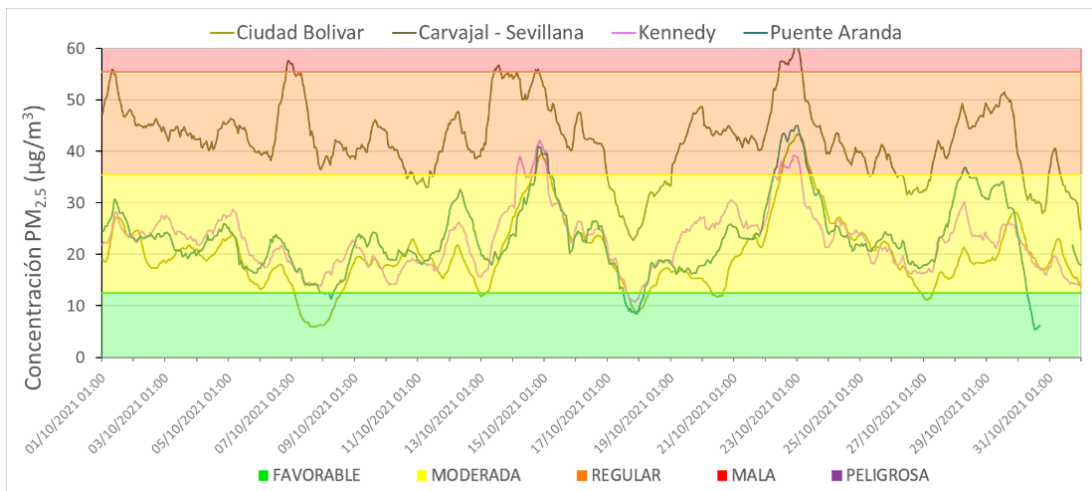
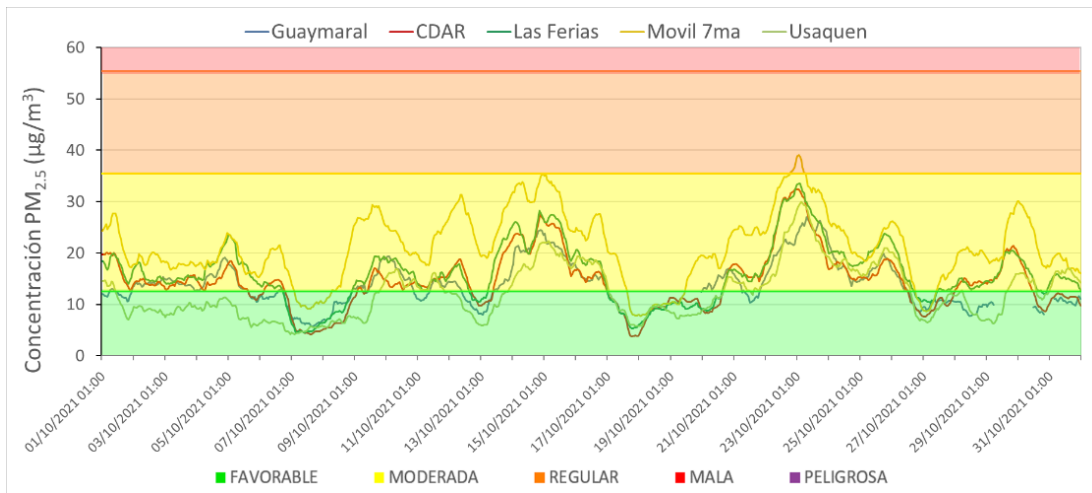
Figura 22. IBOCA para O₃ por estación - octubre 2021

La Figura 22 muestra el comportamiento del IBOCA para los promedios móviles de las concentraciones 8 horas de O₃ en cada una de las estaciones de monitoreo para el mes de octubre 2021. Se observa que la categoría “favorable” predomina durante todo el mes en las estaciones de la RMCAB. La estación Ciudad Bolívar registró el menor número de datos válidos, con un 20% de datos en el mes.

8. EVENTOS DE CONTAMINACIÓN ATMOSFÉRICA

En la Figura 23 se observan las concentraciones de PM_{2.5} media móvil 24 horas registradas en las estaciones de la RMCAB durante el mes de octubre de 2021. Se observa que la estación Carvajal-Sevillana registró las concentraciones más altas de PM_{2.5} del mes en relación con las demás estaciones de monitoreo, con lo cual se evidenció durante gran parte del mes la condición “regular”, y los días jueves y viernes se observó la condición “mala”; el registro más alto fue de 60,7 µg/m³ el día 22 de octubre. Las demás estaciones de la zona suroccidente registraron la condición “moderada” la mayor parte del mes, y a finales de la segunda y tercera semana registraron la condición “regular”.

Por otro lado, las estaciones de las demás zonas de la ciudad registraron también concentraciones de PM_{2.5} principalmente en la condición “moderada”, con incrementos generalizados de concentración hacia el 15 y 23 de octubre, que corresponden a días viernes y sábado respectivamente. En este mes se evidenció la acumulación de las concentraciones de material particulado conforme avanzaban los días de la semana, y el domingo disminuían nuevamente las concentraciones.



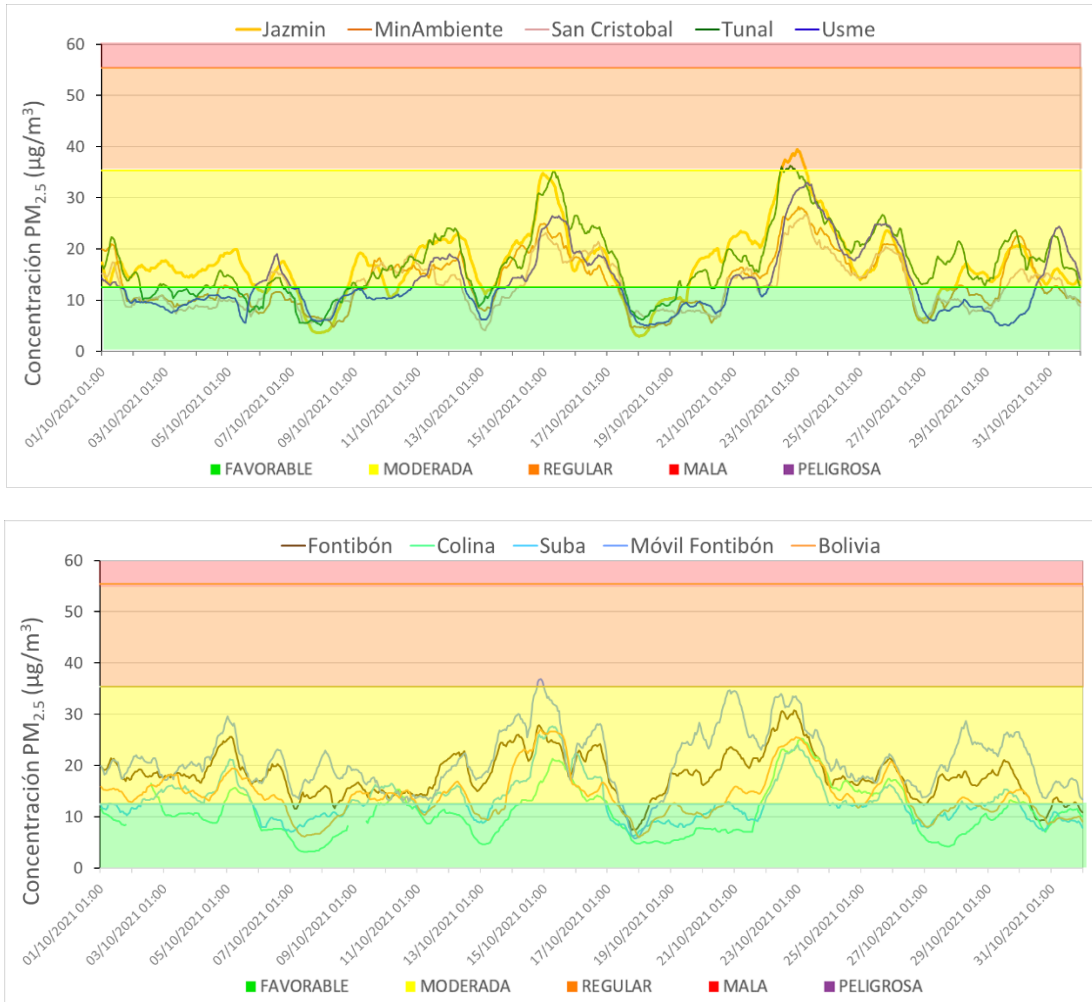


Figura 23. Concentraciones media móvil 24 h PM_{2.5} octubre 2021

En la Figura 24 se puede observar el comportamiento de la contaminación atmosférica en la mañana y la tarde del día 15 de octubre en la zona suroccidental de la ciudad, que corresponde al viernes de la segunda semana del mes. En las mañanas del mes se observaron bajas temperaturas y cielos despejados, lo cual influyó en la acumulación de la contaminación a lo largo de la semana. A pesar de que se registraron precipitaciones más altas que en el mes anterior, las diferencias de temperatura incidieron en la acumulación de la contaminación en las mañanas, pues las precipitaciones predominaron en las tardes.

	METROLOGIA, MONITOREO Y MODELACIÓN	
	INFORME MENSUAL DE LA RED DE MONITOREO DE CALIDAD DEL AIRE DE BOGOTÁ – RMCAB	
	Código: PA10-PR04-M3	Versión: 2



Figura 24. Fotografía del suroccidente de la ciudad mañana y tarde. Octubre 15 de 2021

9. COMPORTAMIENTO DE LAS VARIABLES METEOROLÓGICAS

En este capítulo se describe el comportamiento general de las variables meteorológicas durante el mes de octubre 2021, el cual incide directamente en la variabilidad de la concentración de contaminantes criterio en el Distrito Capital.

9.1. COMPORTAMIENTO TEMPORAL Y ESPACIAL DE LA PRECIPITACIÓN

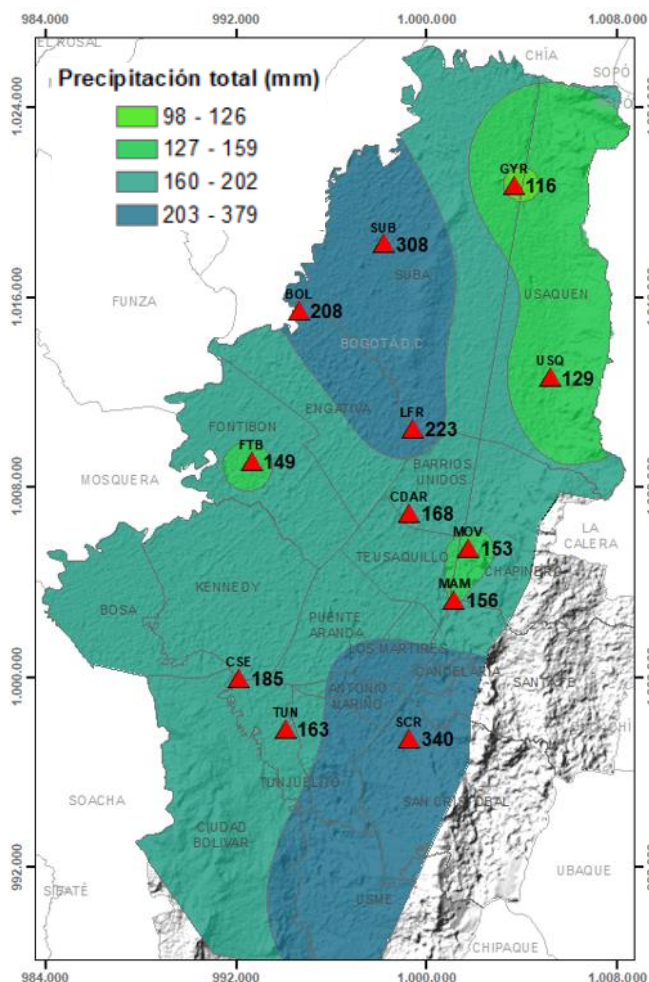


Figura 25. Mapa de la precipitación mensual total (mm) - octubre 2021.

Los relativamente altos registros de lluvia presentados durante el mes de octubre de 2021 corresponden con el comportamiento histórico de la precipitación en la ciudad. Durante este mes, los mayores niveles de precipitación se observaron hacia el flanco sur oriental representado por la estación de San Cristóbal y hacia el flanco noroccidental y centro geográfico de la ciudad, descritos por las estaciones Suba, Bolivia y Las Ferias, con acumulados totales mensuales que fluctuaron entre 208 mm y 340 mm. Los sectores de la ciudad que registraron menores lluvias son reportados al nororiente de la ciudad (Guaymaral y Usaquén), hacia el centro occidente (Fontibón) y centro oriente (Móvil 7ma). Correspondientemente, el número de días con lluvia alcanzó valores cercanos a los 30 días como los registrados en la estación de Bolivia y CDAR, aunque se estima que las lluvias registradas fueron de poca intensidad. En San Cristóbal y Suba, por el contrario, el número de días fue menor a 25 pero los acumulados registrados dan cuenta de posibles eventos de lluvias intensas. (Figura 25). Aun así, las concentraciones de material particulado durante el mes de octubre presentaron ligeros incrementos al sur y suroccidente, con respecto al mes anterior, lo cual podría atribuirse al incremento en el transporte de fuentes móviles y a la persistencia de la componente occidental de los vientos que puede transportar contaminantes hacia el interior de la ciudad.

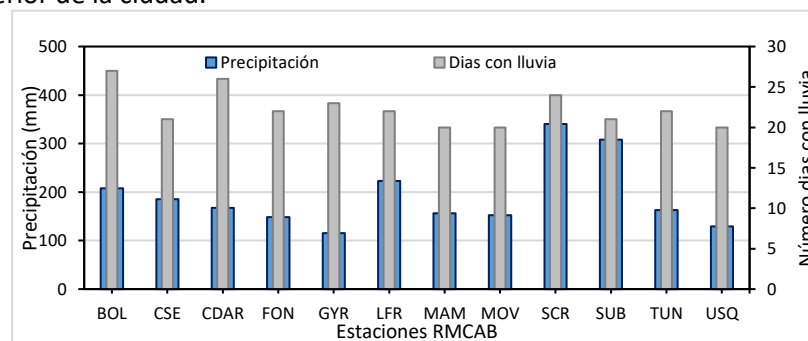


Figura 26. Precipitación media mensual y número de días con precipitación – octubre 2021

9.2. COMPORTAMIENTO TEMPORAL Y ESPACIAL DE LA TEMPERATURA

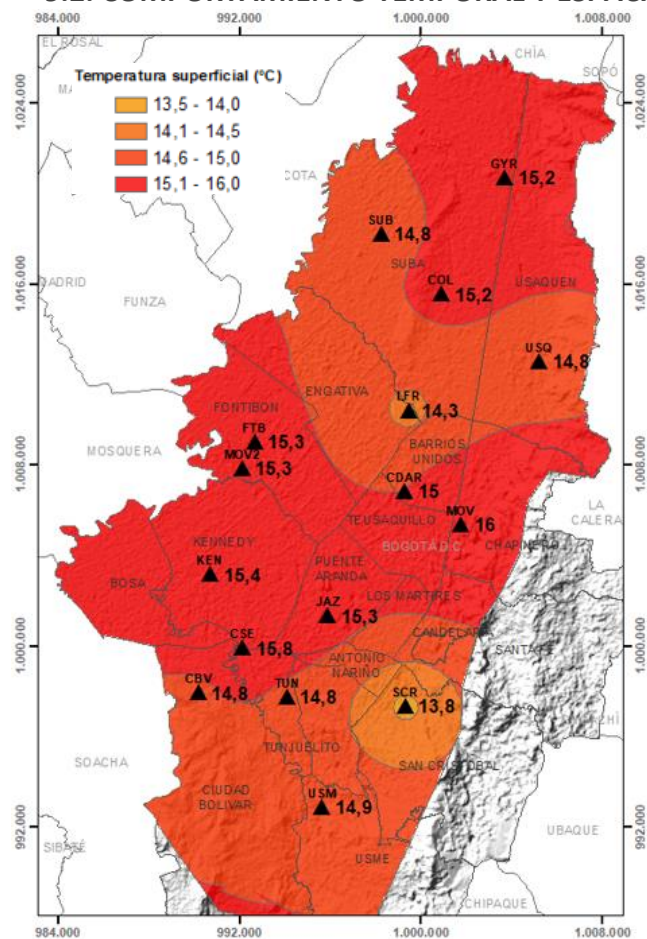


Figura 27. Mapa del promedio de temperatura superficial de las estaciones de la RM CAB con base en el método de interpolación de Kriging – octubre 2021

En octubre, la temperatura media superficial presentó incrementos con respecto al mes de septiembre, sobre todo en el centro geográfico y el norte de la ciudad con diferencias de temperatura de entre 0,1 °C en el centro y 2 °C al norte. Ver Figura 27.

Las temperaturas máximas absolutas se registraron en las estaciones Tunal (26,1 °C), Móvil 7ma (24,8 °C), Kennedy (24,5 °C) y Carvajal - Sevillana (23 °C). Las mínimas absolutas en las estaciones de Tunal (3,9 °C), Guaymaral (5,3 °C), CDAR (5,4 °C), y Colina (7,2 °C). Ver Figura 28.

Las mayores amplitudes que favorecen la expansión de la capa límite y dispersión de contaminantes en las zonas tropicales, por convección térmica, ocurrieron hacia los sectores de Tunal, Suba, CDAR, y Guaymaral, en orden de importancia.

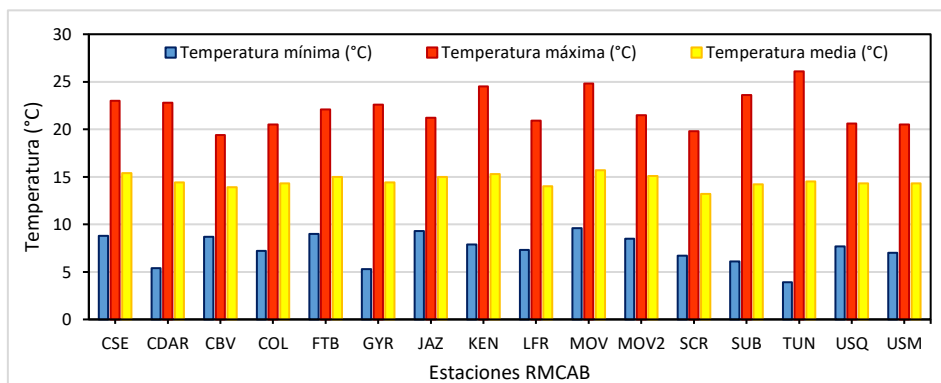


Figura 28. Temperaturas medias, máximas y mínimas absolutas por estación - octubre 2021

9.3. COMPORTAMIENTO TEMPORAL Y ESPACIAL DE LA VELOCIDAD Y DIRECCIÓN DEL VIENTO.

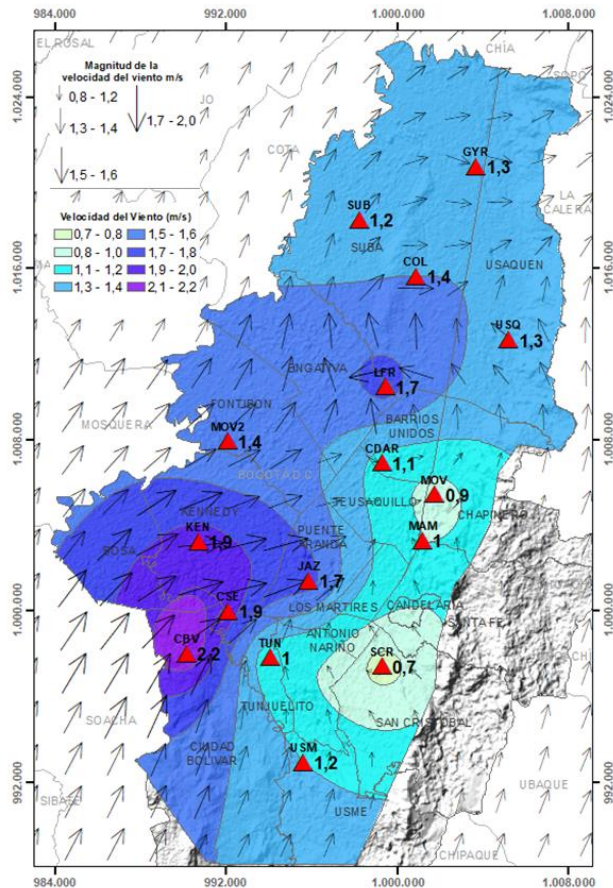


Figura 29. Velocidad promedio (Superficie en colores) y Dirección promedio (Vectores) del Viento de Bogotá con base en la interpolación de Kriging -octubre 2021

Durante el mes de octubre predominaron los vientos del sur oriente en el flanco oriental y vientos del sur y sur occidente en el flanco occidental con posibles confluencias en el centro geográfico de la ciudad, entre los flujos provenientes del suroriente y las corrientes del sur occidente que propician la acumulación de contaminantes por el efecto barrera de los cerros orientales. Las mayores velocidades medias se presentaron entre el suroriente de la ciudad, como es normal que ocurra, así como en el centro geográfico y centro occidente. Ver *Figura 29*.

Como suele ocurrir, las velocidades máximas se presentaron hacia el sur occidente de la ciudad con velocidades máximas de 8,6 m/s como se registraron en la estación de Ciudad Bolívar. No obstante, al igual que el mes anterior, hacia el norte de la ciudad se registraron vientos relativamente fuertes y poco frecuentes de 1,3 m/s a 1,4 m/s, mientras que las velocidades mínimas se evidenciaron en el centro oriente y sur oriente de la ciudad con velocidades medias mensuales por debajo de 1 m/s. Ver *Figura 30*.

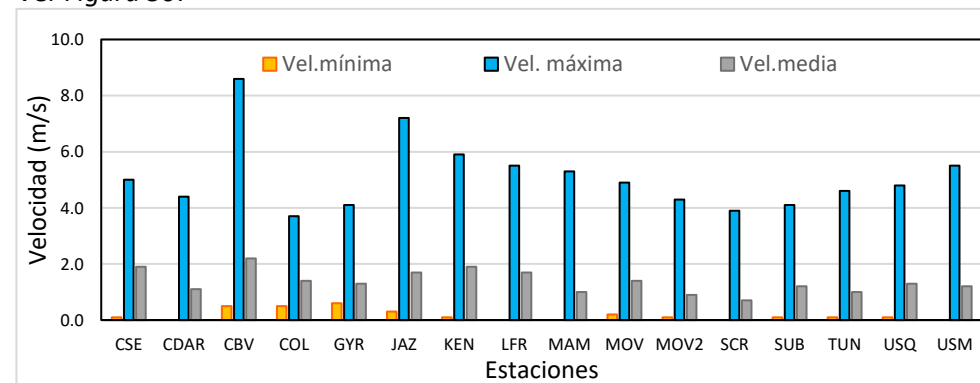


Figura 30. Velocidad del viento media, máxima y mínima absolutas por estación - octubre 2021.

	METROLOGIA, MONITOREO Y MODELACIÓN	
	INFORME MENSUAL DE LA RED DE MONITOREO DE CALIDAD DEL AIRE DE BOGOTÁ – RMCAB	
	Código: PA10-PR04-M3	Versión: 2

CONCLUSIONES

- Las concentraciones de material particulado fueron más altas en la zona suroccidental de la ciudad, especialmente en la zona de influencia de la estación Carvajal-Sevillana, mientras que los menores valores se observaron en la zona nororiental de la ciudad. Carvajal-Sevillana tuvo el promedio mensual más alto de PM₁₀ (74,6 µg/m³) y de PM_{2.5} (41,9 µg/m³); se registraron en total 20 excedencias de PM₁₀ y 32 excedencias de PM_{2.5} en el mes.
- Con respecto a los gases, Carvajal-Sevillana registró las concentraciones más altas de los contaminantes asociados a combustión (NO₂, SO₂ y CO) y Usaquén registró el promedio más alto de O₃ del mes. Se observaron también incrementos notables de concentración en otras estaciones: SO₂ en Ciudad Bolívar, NO₂ en Puente Aranda, CO en Móvil 7ma y O₃ en Fontibón, No se registró ninguna excedencia a los niveles máximos permisibles para las concentraciones de gases.
- Las estaciones Carvajal-Sevillana y Tunal registraron el promedio más alto de concentración de Black Carbon de 880 y 370 nm de longitud de onda, las concentraciones más altas se observaron hacia la tercera semana del mes, mientras que los registros más bajos se obtuvieron en San Cristóbal en la primera semana del mes. En octubre de 2021 hubo predominancia de Black Carbon proveniente de la quema de combustibles fósiles en fuentes móviles y fijas, lo cual fue observado en las estaciones Carvajal-Sevillana, Kennedy y Tunal.
- Con respecto al índice IBOCA en octubre de 2021, para las concentraciones registradas de PM_{2.5} se observó una predominancia de la condición “moderada” en la mayoría de las estaciones, con porcentajes mayores al 36%, aunque la estación Carvajal-Sevillana registró la condición “regular” por mayor tiempo, con un 80% del mes, por influencia del aumento de las concentraciones de material particulado asociadas al tráfico vehicular en las vías cercanas a la estación y reducción de la capacidad de dispersión de contaminantes de la atmósfera.
- En el mes de octubre 2021 se registró un nuevo incremento en la precipitación respecto al mes anterior, ya que es el mes de inicio de la segunda temporada húmeda del año, y registrando al menos 20 días con lluvia en las estaciones. Los acumulados más altos se observaron en Suba y San Cristóbal, con 308 y 340 mm respectivamente.
- La temperatura superficial tuvo un incremento respecto al mes anterior, con registros hasta de 15.8 °C en la estación Carvajal-Sevillana, aunque respecto a los máximos horarios se evidenciaron datos de 26,1°C en Tunal y 24,8°C en Móvil 7ma. La zona de menor temperatura superficial es la zona de influencia de la estación San Cristóbal.
- En octubre de 2021 hubo predominancia de vientos provenientes del suroriente y suroccidente de la ciudad, lo cual influyó en la acumulación de la contaminación en varios días del mes. Las mayores velocidades se observaron en el suroccidente de la ciudad, con 2,2 m/s en Ciudad Bolívar, mientras que la menor velocidad promedio se evidenció en San Cristóbal con 0,7 m/s.

10. ANEXOS

10.1. CARACTERÍSTICAS DE LAS ESTACIONES DE LA RMCAB

Tabla 2. Características, ubicación de las estaciones y variables monitoreadas de la RMCAB

Características	Ubicación								Contaminantes						Variables Meteorológicas							
	Sigla	Latitud	Longitud	Altitud (m)	Altura (m)	Localidad	Tipo de zona	Tipo de estación	Dirección	PM ₁₀	PM _{2.5}	O ₃	NO _x	CO	SO ₂	V. Viento	D. Viento	Temperatura	Precipitación	R. Solar	H. Relativa	Presión Atm.
Guaymaral	GYR	4°47'1.52"N	74°2'39.06"W	2580	0	Suba	Sub urbana	De fondo	Autopista Norte # 205-59	X	X	X	X	X		X	X	X	X	X	X	X
Usaquén	USQ	4°42'37.26"N	74°1'49.50"W	2570	10	Usaquén	Urbana	De fondo	Carrera 7B Bis # 132-11	X	X	X	X	X	X	X	X	X				X
Suba	SUB	4°45'40.49"N	74°5'36.46"W	2571	6	Suba	Sub urbana	De fondo	Carrera 111 # 159A-61	X	X	X	X	X	X	X	X	X				X
Bolivia	BOL	4°44'9.12"N	74°7'33.18"W	2574	0	Engativá	Sub urbana	De fondo	Avenida Calle 80 # 121-98	X	X	X	X	X	X							
Las Ferias	LFR	4°41'26.52"N	74°4'56.94"W	2552	0	Engativá	Urbana	De tráfico	Avenida Calle 80 # 69Q-50	X	X	X	X	X		X	X	X	X		X	X
Centro de Alto Rendimiento	CDAR	4°39'30.48"N	74°5'2.28"W	2577	0	Barrios Unidos	Urbana	De fondo	Calle 63 # 59A-06	X	X	X	X	X	X	X	X	X	X	X	X	
Estación Móvil 7ma	MOV	4°38'32.75"N	74°5'2.28"W	2583	0	Chapinero	Urbana	De tráfico	Carrera 7 con calle 60	X	X		X	X		X	X	X	X	X	X	X
MinAmbiente	MAM	4°37'31.75"N	74°4'1.13"W	2621	15	Santa Fe	Urbana	De tráfico	Calle 37 # 8-40	X	X	X	X	X		X	X		X			
Fontibón	FTB	4°40'41.67"N	74°8'37.75"W	2551	11	Fontibón	Urbana	De tráfico	Carrera 104 # 20 C - 31	X	X	X	X	X	X	X	X	X			X	
Puente Aranda	PTE	4°37'54.36"N	74°7'2.94"W	2590	10	Puente Aranda	Urbana	Industrial	Calle 10 # 65-28	X	X	X	X	X	X	X	X	X	X			
Kennedy	KEN	4°37'30.18"N	74°9'40.80"W	2580	3	Kennedy	Urbana	De fondo	Carrera 80 # 40-55 sur	X	X	X	X	X	X	X	X	X	X	X	X	
Carvajal - Sevillana	CSE	4°35'44.22"N	74°8'54.90"W	2563	3	Kennedy	Urbana	Tráfico / Industrial	Autopista Sur # 63-40	X	X	X	X	X	X	X	X	X	X			
Tunal	TUN	4°34'34.41"N	74°7'51.44"W	2589	0	Tunjuelito	Urbana	De fondo	Carrera 24 # 49-86 sur	X	X	X	X	X	X	X	X	X	X	X	X	X
San Cristóbal	SCR	4°34'21.19"N	74°5'1.73"W	2688	0	San Cristóbal	Urbana	De fondo	Carrera 2 Este # 12-78 sur	X	X	X	X	X		X	X	X	X	X	X	
El Jazmín	JAZ	4°36'30.6"N	74°06'53.8"W	2559	0	Puente Aranda	Urbana	Residencial	Calle 1 G # 41 A 39	X	X	X	X	X	X	X	X	X		X	X	X
Usme	USM	4°31'55.4"N	74°07'01.7"W	2593	0	Usme	Urbana	Residencial	Carrera 11 # 65 D 50 Sur	X	X	X	X	X	X	X	X	X		X	X	X
Ciudad Bolívar	CBV	4°34'40.1"N	74°09'58.6"W	2661	0	Ciudad Bolívar	Urbana	Residencial	Calle 70 Sur # 56 - 11	X	X	X	X	X	X	X	X	X		X	X	X
Colina	COL	4°44'14.1"N	74°04'10.0"W	2555	0	Suba	Urbana	Residencial	Avenida Boyacá No 142a-55	X	X	X	X	X	X	X	X	X		X	X	X
Móvil Fontibón	MOV2	4°40'03.7"N	74°08'55.9"W		0	Fontibón	Urbana	Tráfico / Industrial	Cra. 98 #16 B 50	X	X	X	X	X	X	X	X	X		X	X	X

	METROLOGIA, MONITOREO Y MODELACIÓN	
	INFORME MENSUAL DE LA RED DE MONITOREO DE CALIDAD DEL AIRE DE BOGOTÁ – RMCAB	
	Código: PA10-PR04-M3	Versión: 2

10.2. **NORMATIVA Y MÉTODOS DE REFERENCIA**

La elaboración de informes de calidad del aire se realiza teniendo en cuenta uno de los componentes de la misionalidad de la Secretaría Distrital de Ambiente, como autoridad ambiental del Distrito Capital. Además, se tiene en cuenta lo establecido en la norma NTC ISO/IEC 17025:2017 con respecto a la elaboración de los reportes del laboratorio, y teniendo en cuenta que los informes de calidad del aire de la RMCAB se elaboran con base en los procedimientos asociados a las funciones del Laboratorio Ambiental de la Secretaría Distrital de Ambiente, los cuales se incluyen dentro de del proceso de apoyo de la SDA denominado “Metrología, Monitoreo y Modelación”.

La obtención de los datos de concentraciones de contaminantes y de variables meteorológicas se realiza a través de los registros en tiempo real de los equipos de monitoreo y sensores meteorológicos, cuyo funcionamiento y operatividad son verificados mediante la realización de mantenimientos preventivos y correctivos por parte del equipo de campo de la RMCAB, programados periódicamente mediante un software destinado para este fin. Adicionalmente se realizan periódicamente las calibraciones y verificaciones de los equipos de monitoreo, con el fin de garantizar que la medición de los equipos se realice de acuerdo con los estándares establecidos en los métodos de medición.

Los métodos de medición utilizados por los monitores de la RMCAB se encuentran descritos en la lista de métodos de referencia y equivalentes designados, publicada en junio de 2021 (EPA, 2021). Los métodos de referencia se encuentran establecidos en el Título 40 del CFR (Code of Federal Regulations), los cuales están aprobados por la Environmental Protection Agency (EPA) de Estados Unidos. Para cada contaminante se encuentra definido un método de referencia específico, de acuerdo con el método equivalente por el cual funciona cada monitor, lo cual se encuentra establecido en los apéndices de la Parte 50 del Título 40 del CFR (LII, 2020). (Tabla 3)

Tabla 3. Técnicas de medición automáticas de los equipos de la RMCAB, métodos equivalentes y de referencia EPA

Contaminante	Principio de Medición	Método equivalente automatizado EPA	Apéndice Parte 50 del CFR
PM ₁₀	Atenuación por Radiación Beta	EQPM-0798-122	J
		EQPM-0404-151	
PM _{2.5}	Atenuación por Radiación Beta	EQPM-0308-170	L
		EQPM-1013-211	
O ₃	Espectrofotometría de Absorción en el Ultravioleta	EQQA-0992-087	D
		EQQA-0193-091	
NO ₂	Quimioluminiscencia	RFNA-1289-074	F
		RFNA-1194-099	
		RFNA-0118-249	
CO	Espectrofotometría de Absorción en el Infrarrojo	RFCA-0992-088	C
		RFCA-0981-054	
		RFCA-1093-093	
		RFCA-0915-228	
SO ₂	Fluorescencia Pulsante en el Ultravioleta	EQSA-0495-100	A-1
		EQSA-0486-060	

	METROLOGIA, MONITOREO Y MODELACIÓN	
	INFORME MENSUAL DE LA RED DE MONITOREO DE CALIDAD DEL AIRE DE BOGOTÁ – RMCAB	
	Código: PA10-PR04-M3	Versión: 2

10.3. DECLARACIONES

- ✓ Los resultados relacionados en el presente informe mensual de calidad del aire corresponden únicamente a los parámetros y variables monitoreadas por los analizadores y sensores en las estaciones de la RMCAB, adicionalmente los resultados del informe sólo están relacionados con ítems ensayados y/o comprobados metrológicamente.
- ✓ El análisis realizado en el presente informe mensual corresponde a los datos recolectados por la Red de Monitoreo de Calidad el Aire de Bogotá – RMCAB durante el período comprendido entre el 01 y el 30 de septiembre de 2021.
- ✓ Las concentraciones y resultados presentados en este informe de calidad del aire y en la página web se encuentran a condiciones de referencia, con el fin de que sean comparables con los niveles establecidos por la normatividad vigente.
- ✓ La identificación de las contribuciones a la incertidumbre de la medición de los equipos se documenta en el instructivo interno PA10-PR03-INS8 y su registro se consigna en el formato interno PA10-PR03-F12. Lo anterior se evalúa bajo una regla de decisión binaria de Aceptación Simple, en este caso el Límite de Aceptación corresponde al mismo Límite de Tolerancia, es decir el nivel máximo permisible que establece la Resolución 2254 de 2017 para cada contaminante y tiempo de exposición.
- ✓ Dentro del análisis del presente informe se declara la conformidad de la siguiente forma: CUMPLE: Todo valor de concentración en los tiempos de exposición que sean menores o iguales al nivel máximo permisible de acuerdo con artículo No. 2, parágrafo No. 1 de la Resolución 2254 de 2017 del Ministerio de Ambiente y Desarrollo Sostenible Resolución o la que la adicione, modifique o sustituya. NO CUMPLE: Todo valor de concentración en los tiempos de exposición que sean mayores al nivel máximo permisible de acuerdo con artículo No. 2, parágrafo No. 1 de la Resolución 2254 de 2017 del Ministerio de Ambiente y Desarrollo Sostenible Resolución o la que la adicione, modifique o sustituya. El criterio de incertidumbre se describe en los criterios de gestión metrológica.
- ✓ Este informe fue elaborado con base en el modelo de informe mensual establecido de la RMCAB relacionado en el procedimiento interno PA10-PR04 Análisis de datos, generación y publicación de informes de calidad del aire de Bogotá. Adicionalmente para la validación de los datos se tiene en cuenta lo definido en el procedimiento interno PA10-PR05- Revisión y Validación de datos de la RMCAB. Cabe resaltar que los procesos de monitoreo de contaminantes se realizan bajo los siguientes procedimientos internos, para los cuales se utiliza la última versión vigente cargada el aplicativo interno de la Secretaría Distrital de Ambiente - SDA “Isolucion”.

	METROLOGIA, MONITOREO Y MODELACIÓN	
	INFORME MENSUAL DE LA RED DE MONITOREO DE CALIDAD DEL AIRE DE BOGOTÁ – RMCAB	
	Código: PA10-PR04-M3	Versión: 2

Tabla 4. Procedimientos Internos para la operación y calibración de equipos de la RMCAB

Código Procedimiento Interno	Nombre del Procedimiento Interno
PA10-PR02	Operación de la Red de Monitoreo y Calidad del Aire de Bogotá
PA10-PR06	Monitoreo y revisión rutinaria de la operación analizadores, monitores de partículas y sensores meteorológicos
PA10-PR03	Aseguramiento de Calidad de los Resultados emitidos por el Laboratorio Ambiental SDA

La siguiente tabla presenta los factores de conversión de unidades que deben ser aplicados a las concentraciones de los gases en partes por millón (ppm) y en partes por billón (ppb) para ser convertidos a mg/m³ y µg/m³, respectivamente:

Tabla 5. Factores de conversión de ppb y ppm a µg/m³ para concentraciones de gases

Gas	Multiplicar por	Para convertir
CO	1144,9	ppm a µg/m ³
SO ₂	2,6186	ppb a µg/m ³
NO ₂	1,8804	ppb a µg/m ³
O ₃	1,9620	ppb a µg/m ³

El resultado de cada una de las conversiones se encuentra a una presión de 760 mm Hg y a una temperatura de 25°C, que son las condiciones de referencia según los términos establecidos en el Protocolo para el Monitoreo y Seguimiento de Calidad del Aire.

El factor de conversión se calcula de acuerdo con la siguiente ecuación:

$$\text{Factor de Conversión [ppb o ppm]} = \frac{M * P}{R * T} * \frac{1}{1000} \left[\frac{\mu\text{g}}{\text{m}^3} \text{ o } \frac{\text{mg}}{\text{m}^3} \right] \uparrow$$

Donde:

M: masa molar del gas contaminante [g/mol]

P: presión atmosférica [Pa]

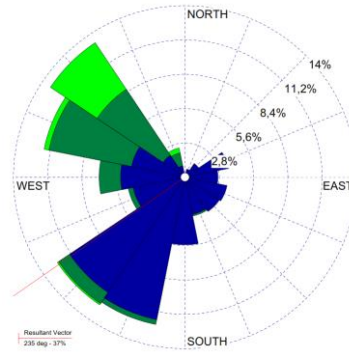
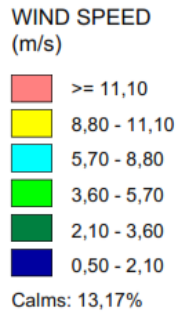
R: constante universal de los gases ideales =

T: temperatura absoluta [K]

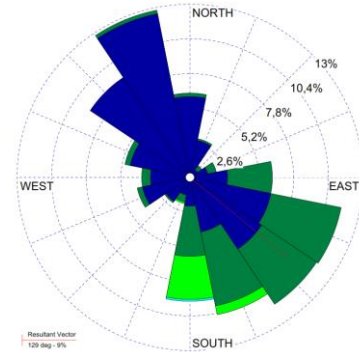
10.4. ROSAS DE LOS VIENTOS

Las rosas de viento que se observan en la *Figura 31* describen el comportamiento puntual en cuanto a frecuencia y dirección en cada una de las estaciones de la RMCAB que superaron el criterio de representatividad temporal superior al 75%, durante el mes de octubre de 2021. Cada rosa contiene la representación del vector resultante (en línea roja) en cada estación durante este mes; es decir, la dirección hacia donde en promedio se dirigieron los vientos durante el periodo analizado. La estación de Usme continúa presentando el mayor porcentaje de predominio de los vientos del sur con un (43%), con velocidades entre 0,5 m/s a 5,7 m/s aproximadamente. Así mismo, San Cristóbal (31%) de vientos del oriente y Ciudad Bolívar (32%) con vientos predominantes del sur-suroriente,

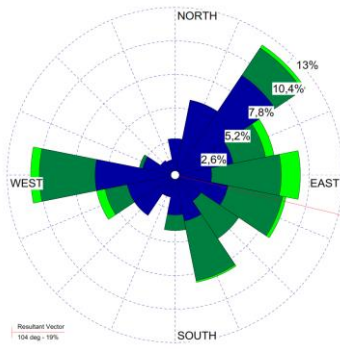
con velocidades de entre 0,5 m/s a 5,7 m/s, siendo más frecuentes las bajas velocidades en San Cristóbal que Ciudad Bolívar.



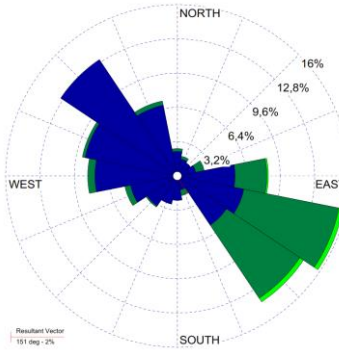
a) Suba



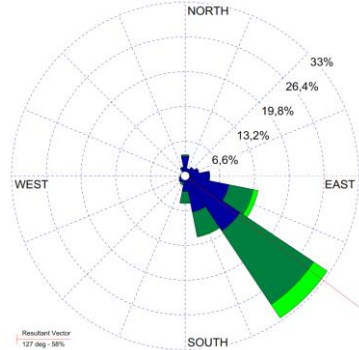
b) Guaymaral



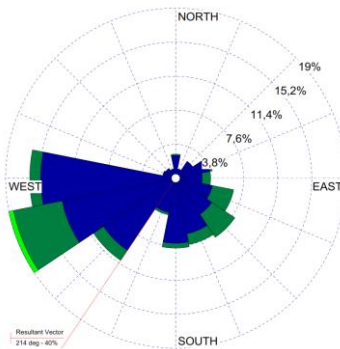
c) Las Ferias



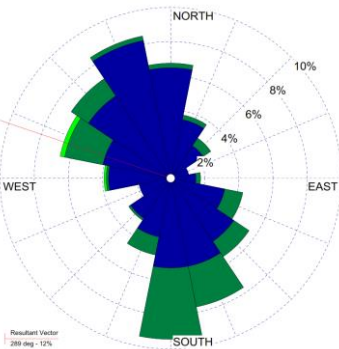
d) Colina



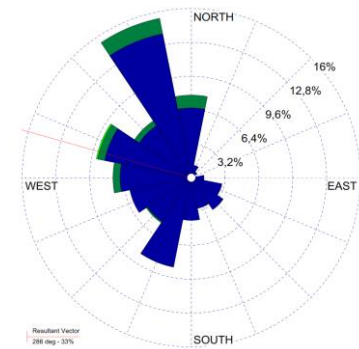
e) Usaquén



f) Móvil FTB



g) CDAR



h) Móvil 7ma

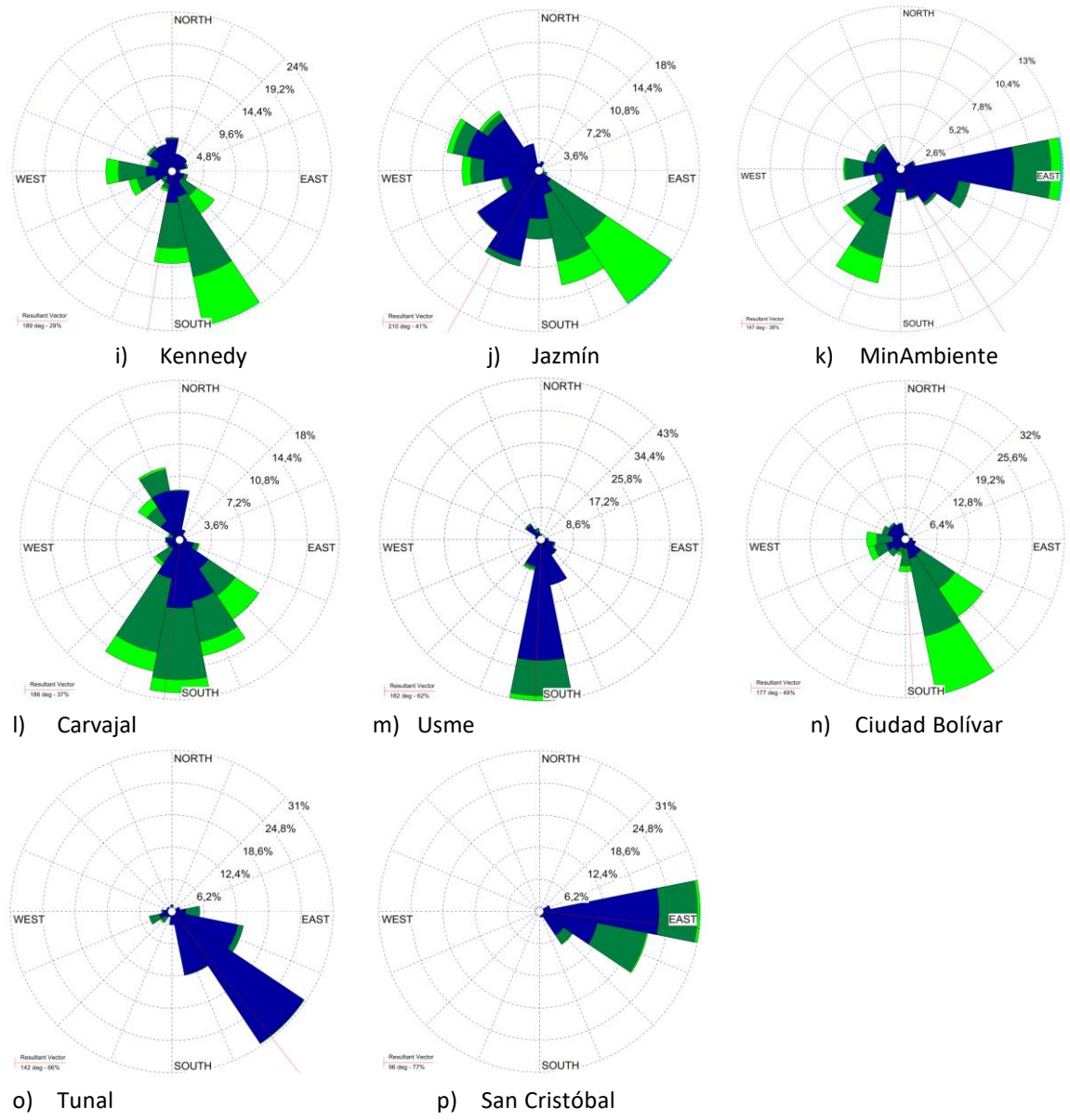


Figura 31. Rosas de los vientos – octubre 2021

FIN DEL INFORME